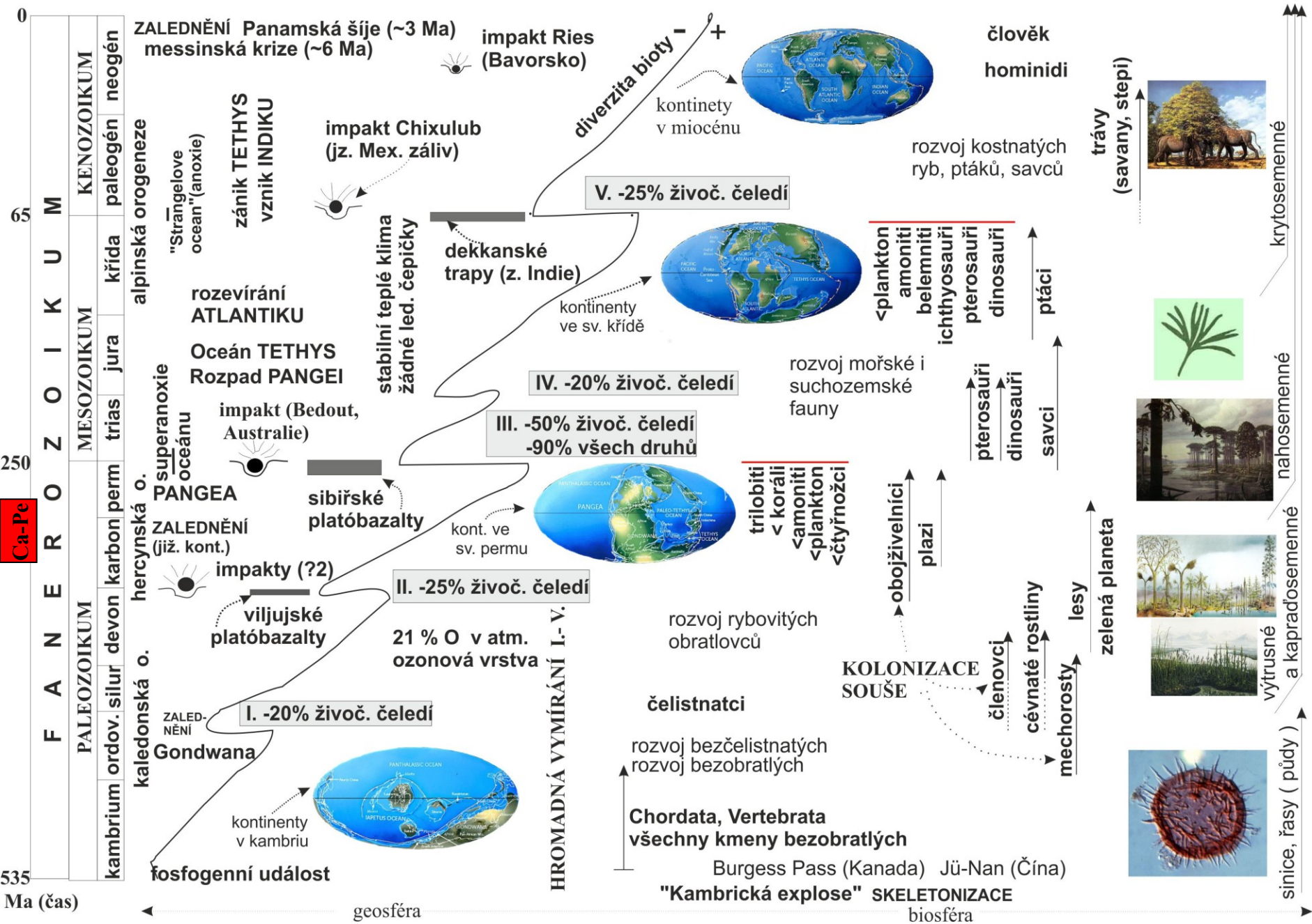


Biotické krize a globální ekosystémy v historii Země – část VI.

Karbon-perm

KARBON (358 - 296 Ma) – PERM (296 - 251 Ma)

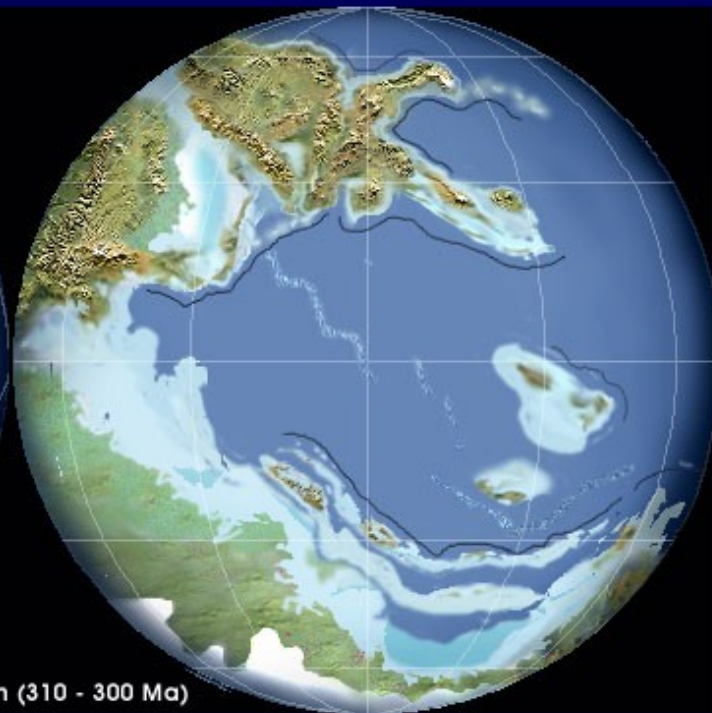


KARBON

- kolise kontinentů
- hercynská orogeneze
- variská horstva
- Evropa a S. Amerika na rovníku
- j. polokoule = zalednění



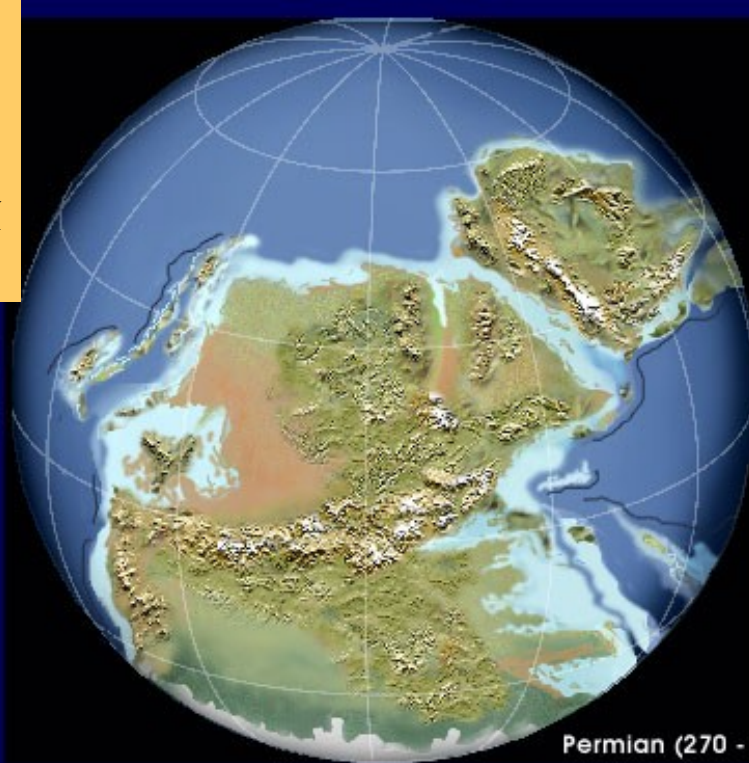
Pennsylvanian (310 - 300 Ma)



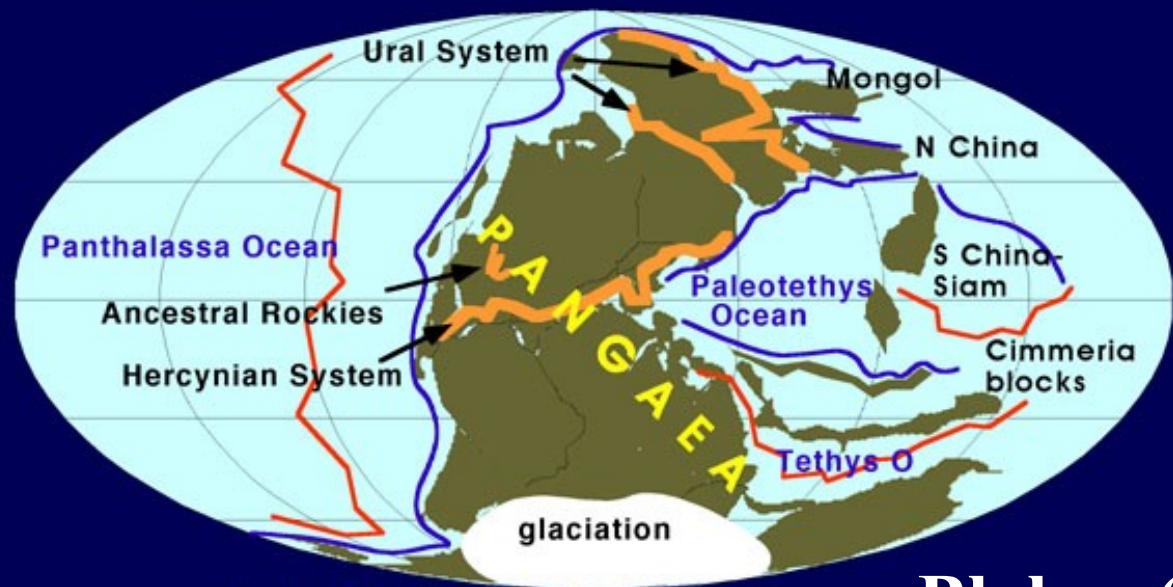
Late Pennsylvanian 300 Ma

PERM

- Pangaea
- vyvrásnění Uralu
- geokratické období
- aridní klima



Permian (270 - 260 Ma)

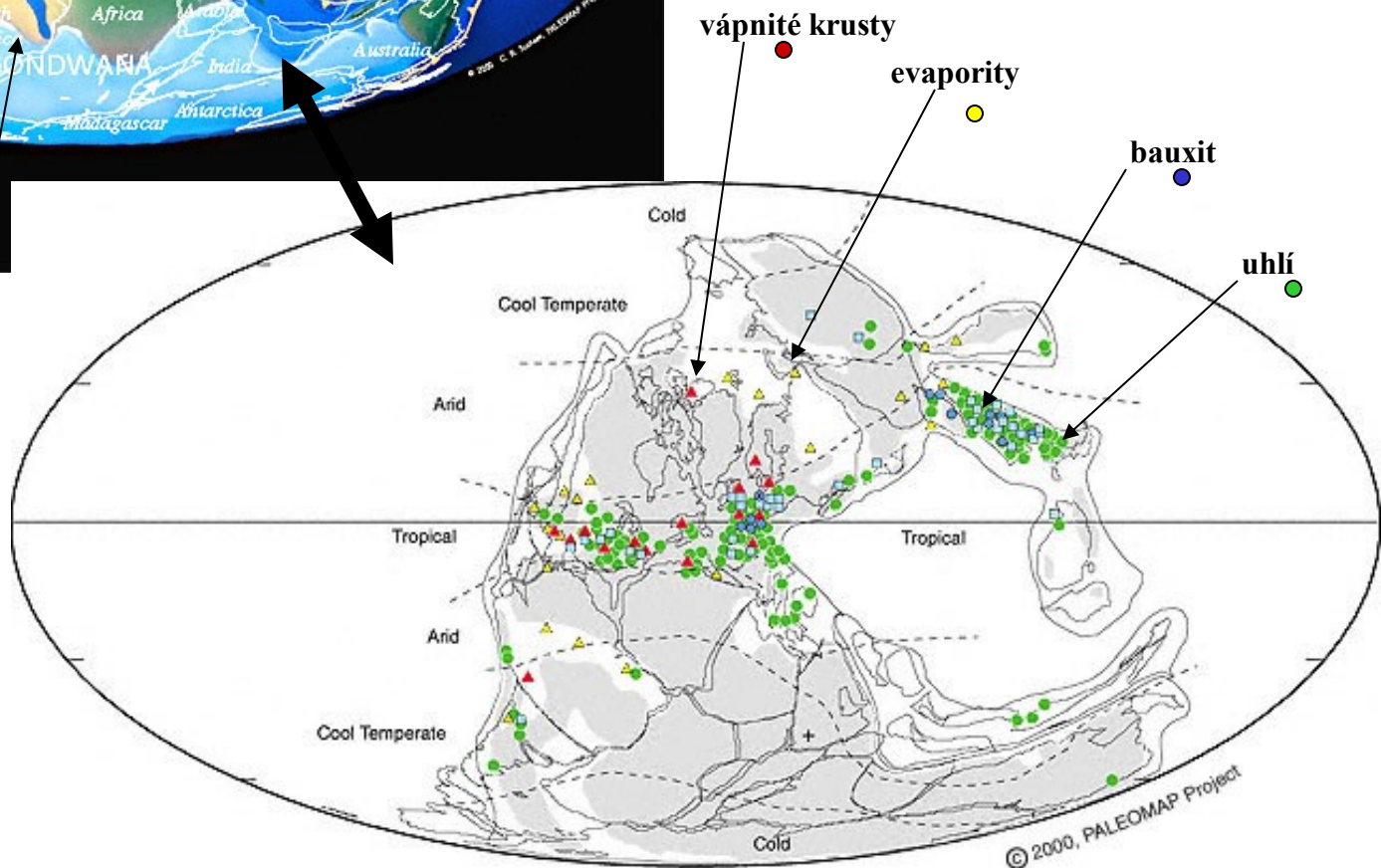
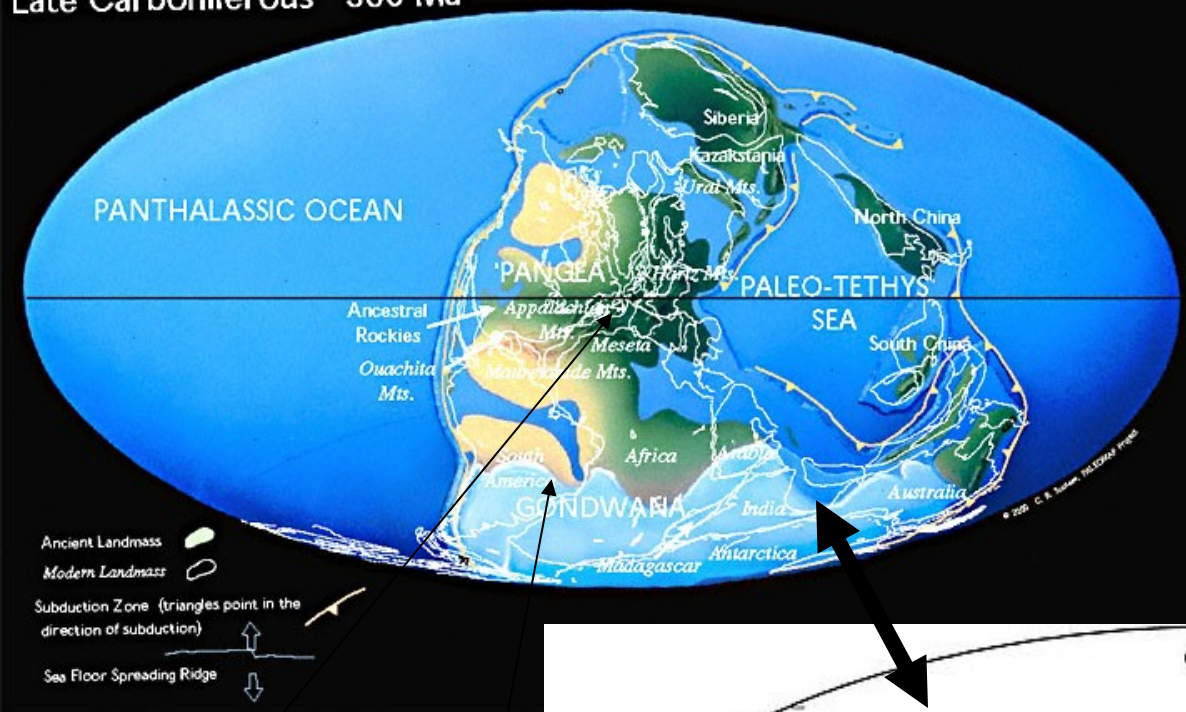


Early Permian 270 Ma

Blakey (1999)

Late Carboniferous 306 Ma

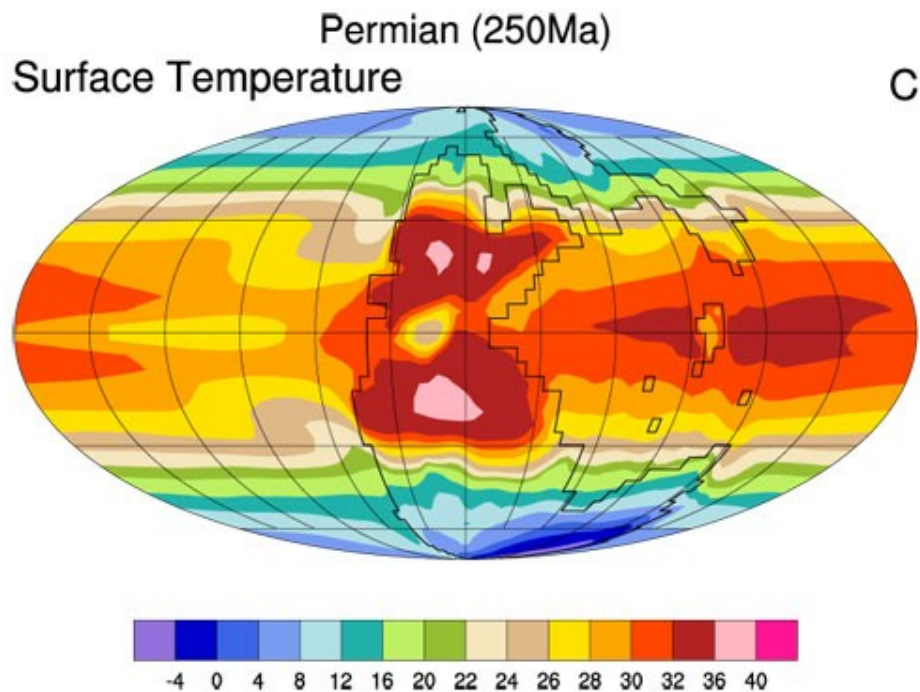
Svrchní karbon -tektonika -klima (viz i další obr.)



Tropické dešťové pralesy
ve střední Pangei, uhelné
bažiny na rovníku,
pouště s evapority,
ledovce na Gondwaně

Upper Carboniferous (Gzelian)

Povrchové teploty v permu



Kiehl (2005)

Permokarbonské zalednění

- ❖ **Největší zalednění v historii fanerozoika**
- ❖ **Poslední zalednění před pleistocénem**
- ❖ **Gondwanský ledovec se rozkládal na Antarktidě a J. Africe**
- ❖ **Maximum - 2X tak rozlehlý než dnešní Antarktický ledovec**
- ❖ **Dwyka souvrství v Africe:**
 - 600 metrů mocné tility
 - podložní horniny nesou znaky - grooves, rýhy a ohlazy
 - indikují směry pohybu ledovců
- ❖ **žádná evidence o zalednění na severní polokouli**

Doklady o permokarbonském zalednění

+ 600m mocné tillity



Hluboké rýhy po sunutí gondwanského ledovce, Oorlogskloof, South Africa

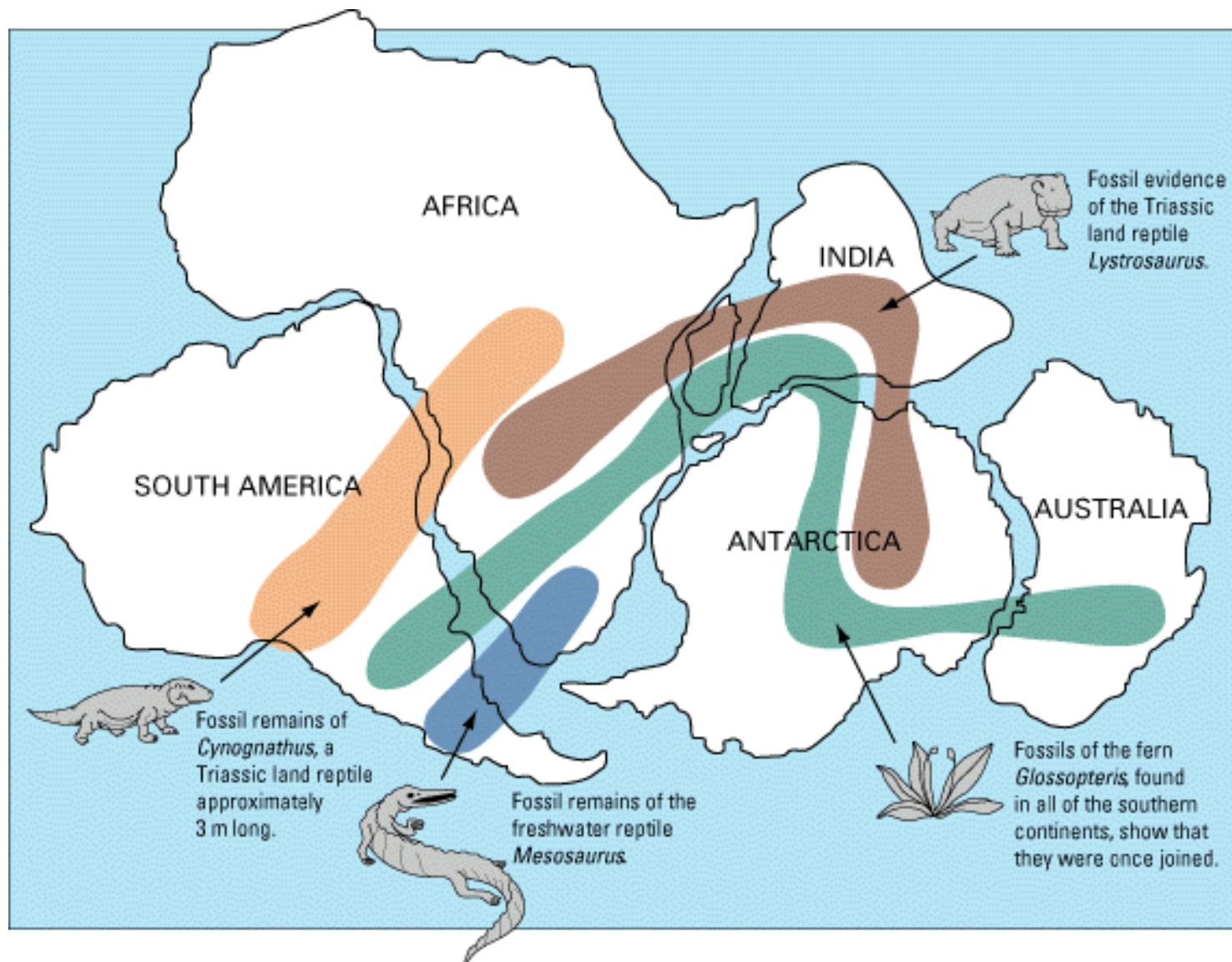
Typické facie hornin v karbonu

- 1) Uhelný vápenec (Kohlenkalk) – vápnité řasy, krinoidi, foraminifery, brachipodi, bryozoa a koráli
- 2) Kulmská facie – karbonový flyš, střídání drob, slepenců a břidlic (viz Dražanská vrchovina)
- 3) Uhelné facie – uhelné pánve limnické (sladkovodní, rosicko-oslavanská pánev) a paralické (střídání mořského a sladkovodního režimu), cyklotémy (ostravsko-karvínská pánev).

Moderní analog představují
bažiny na Floridě a v Louisianě



Rozšíření kontinentálních plazů rodů *Cynognathus*, *Mesosaurus*, *Lystrosaurus* a tzv. glossopteridové flóry na Gondwaně – jasný doklad původní souvislosti gondwanských subkontinentů – částí samostatných kontinentů v recentní konfiguraci



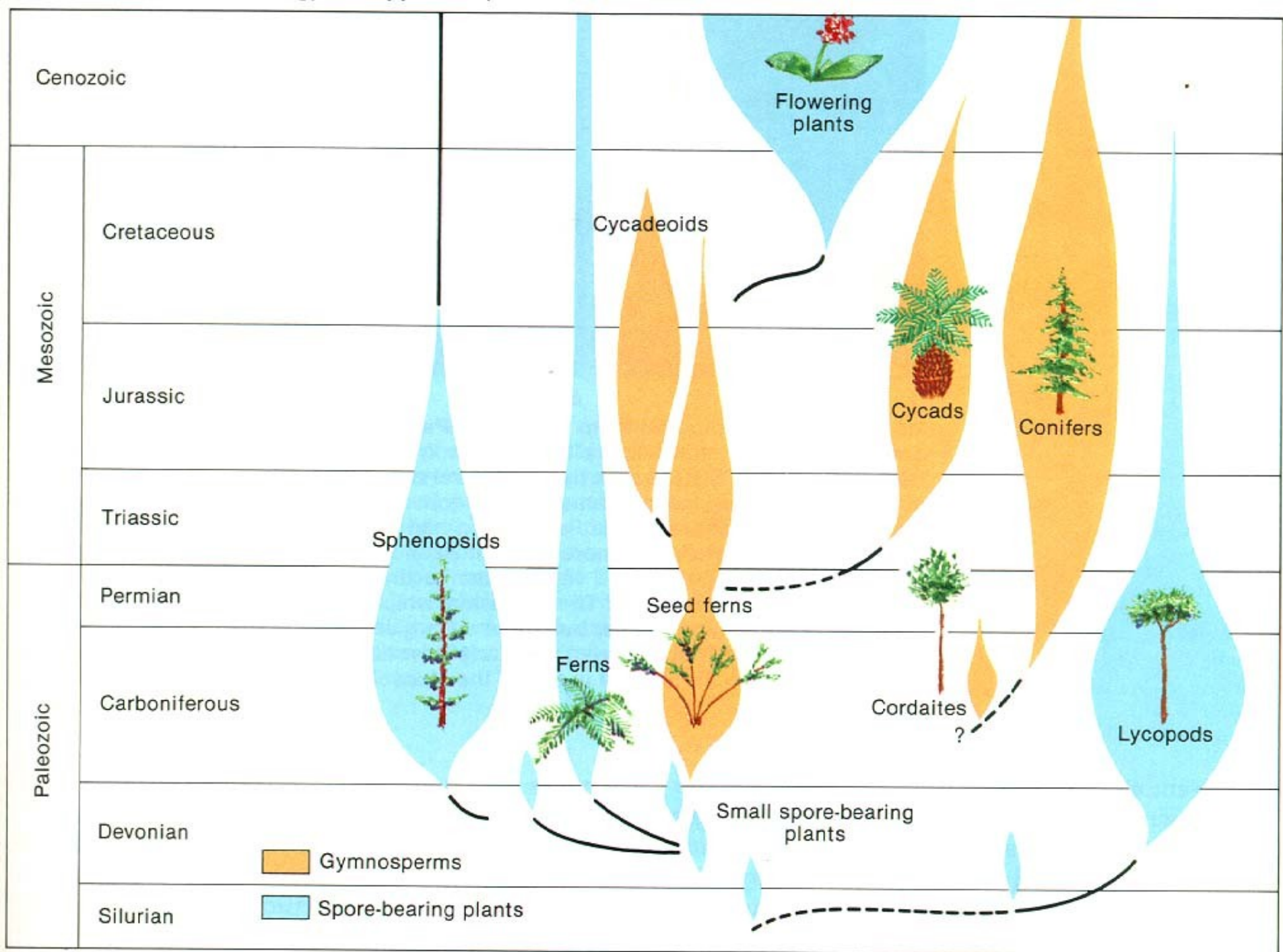
Obraz permokarbonské flóry ukazuje:

Nejprve rozvoj sporátních rostlin ve vlhkých a nížinných podmínkách - přesličky, plavuně a kapradiny (bažiny – uhelné sloje) - paleofytikum.

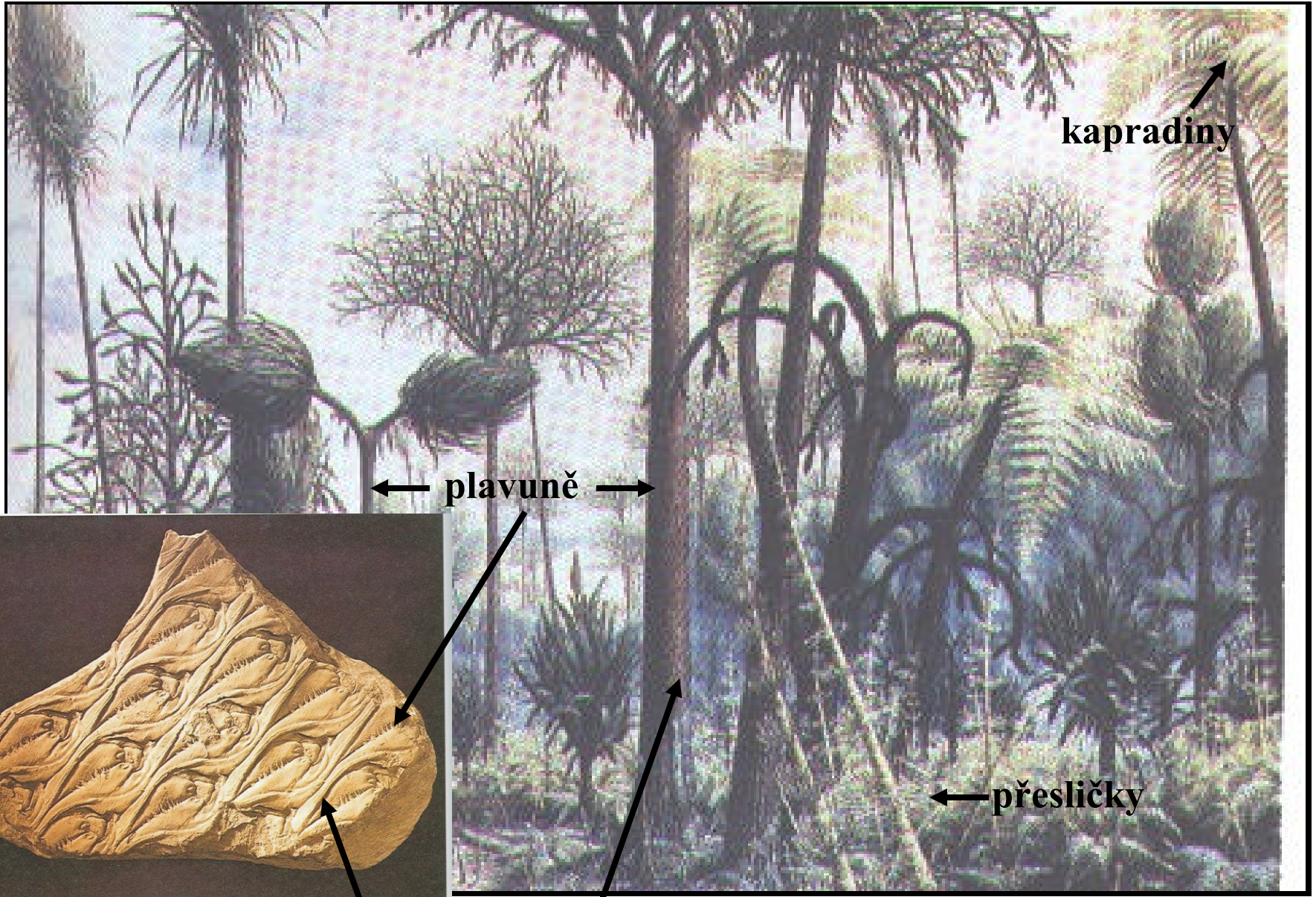
Tyto facie ustupují během aridizace permu do pozadí, stromovití zástupci mizí a ve vyšším permu už převažují jejich nížce stromovité až bylinné typy – tento trend pokračuje až do současnosti.

Současně během karbonu nastupují semenné rostliny – kaprad'osemenné, kordaity, konifery, okupují sušší a výše položená místa, dosahují stromovitých rozměrů a ve svrchním permu začínají dominovat až do spodní křídy – mezofytikum. Kordaity však mizí ještě během vyššího permu. Během permu mizí souhrnně více jak 1/2 v té době rostoucích druhů rostlin, jejich vymírání je na rozdíl od živočišného pozvolné, postupné v různých rytmech a předchází živočišné P/T krizi.

(viz následující graf)



Pohled do permokarbonského pralesa (dominance kaprad'orostů)



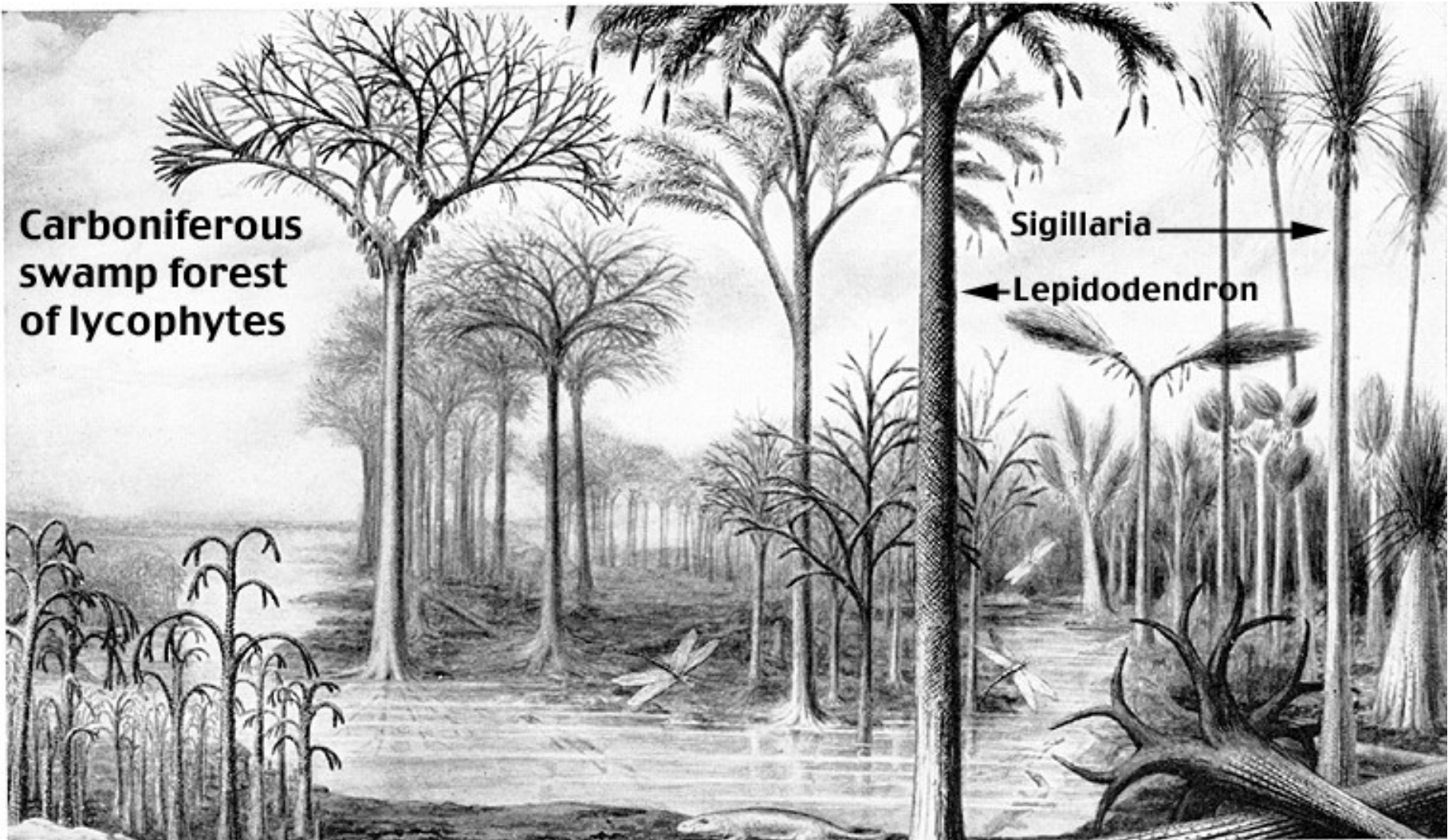
fosilní kůra *Lepidodendron* rekonstrukce rostliny

Další možné rekonstrukce

Carboniferous
swamp forest
of lycophytes

Sigillaria

Lepidodendron



kapradiny

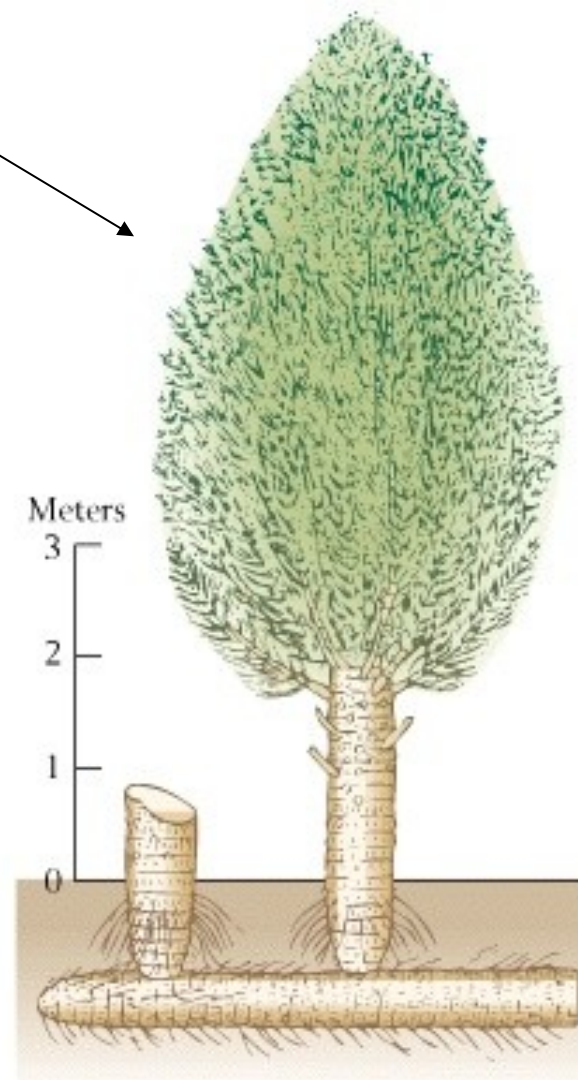


Sigillaria -spolu s rodem *Lepidodendron*
dominantní zástupci plavuní



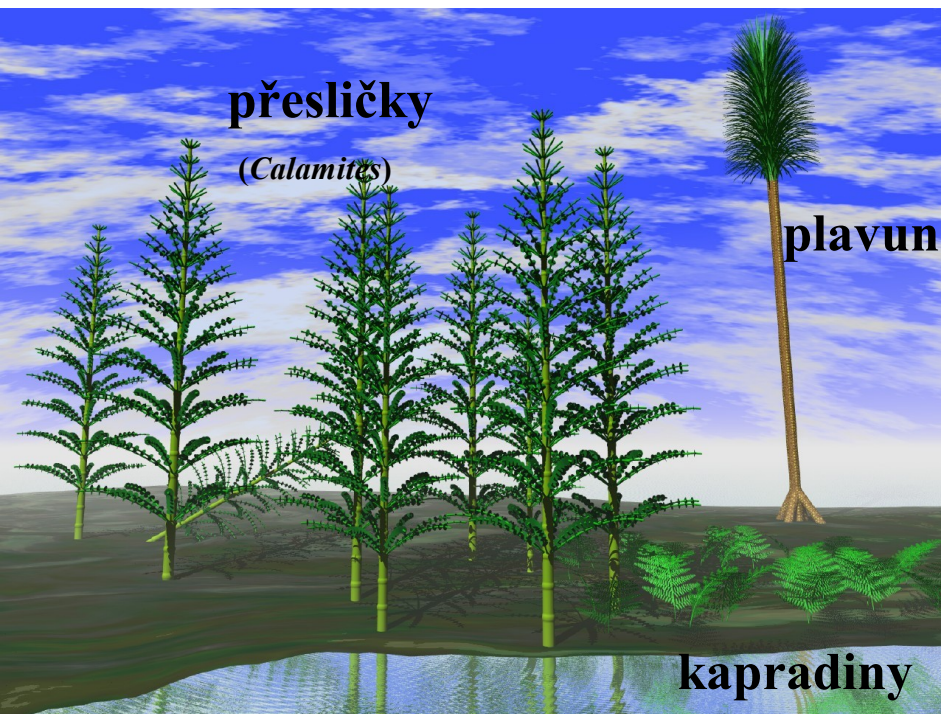
fosilní listy (otisk)

Calamites
(karbonská
stromovitá
přeslička)



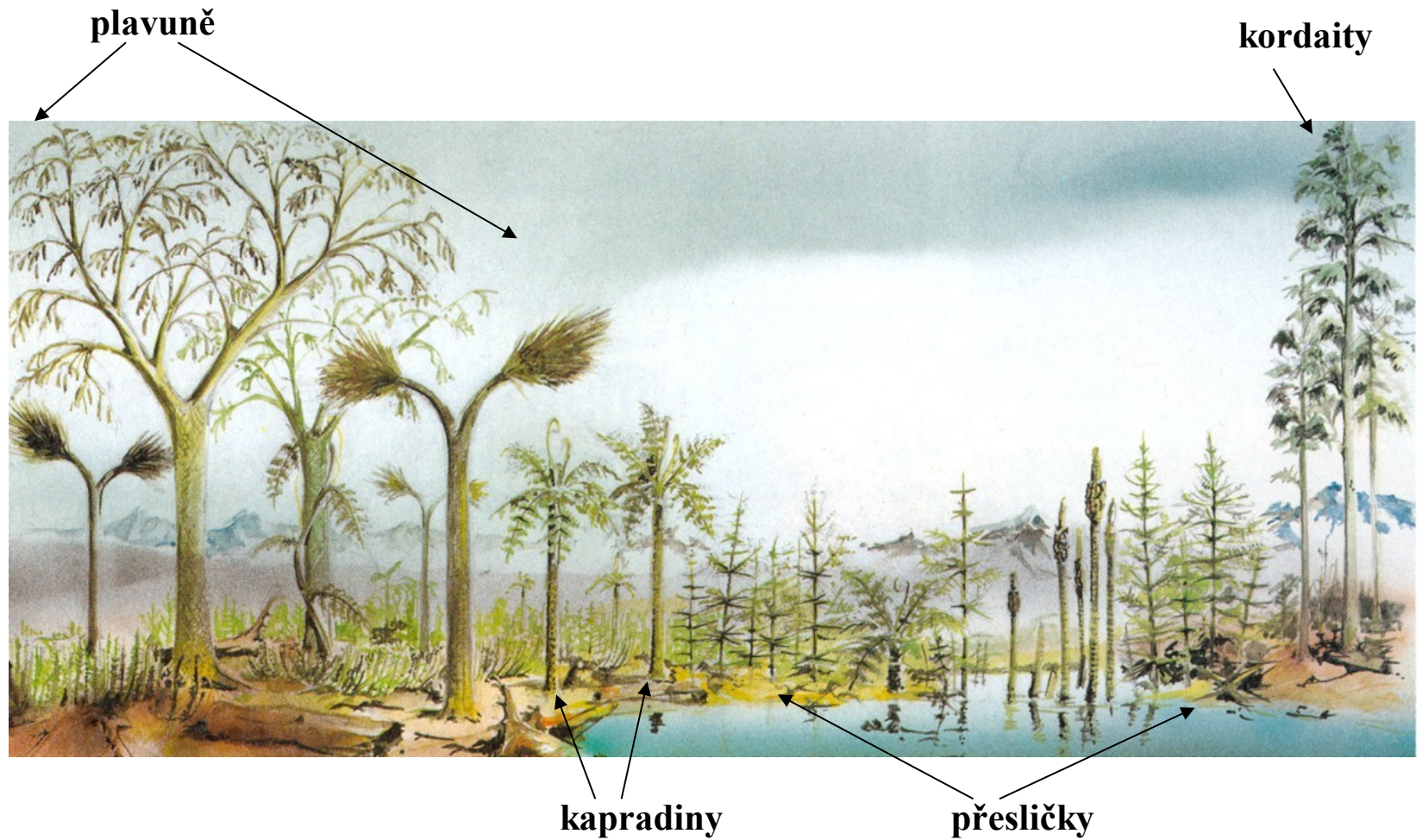
B

rekonstrukce stromu



Idealizovaný pohled

Středoevropská karbonská krajina





dtto





dtto



dtto



dtto





Callipteris conferta, kapradiny, perm

Obraz permokarbonské flóry doplňovaly tzv. kaprad'osemenné rostliny



"Tree Fern"
- pteropsids
3-5m



Primitive
insect
Stenodictya



Seed ferns (Pteridosperms) are primitive seed bearing gymnosperms.

Carboniferous (carbon-bearing period) coal swamp plants included tree ferns, seed ferns and true ferns.



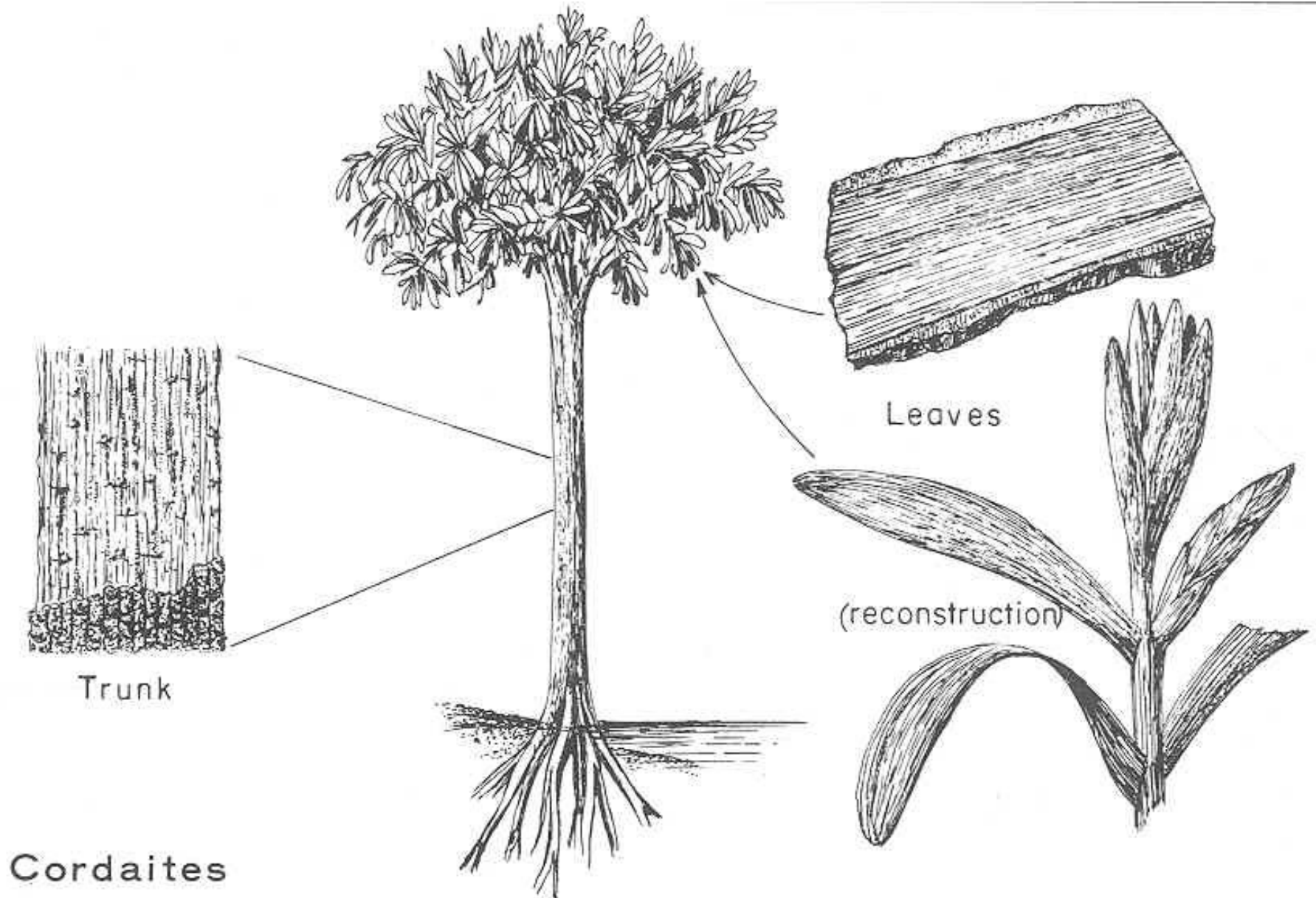
Pennsylvanian
seeds of seed
fern *Neuropteris*

Některé kaprad'osemenné snášely i sušší podmínky. Rozšířily se více než ostatní, především rod *Glossopteris* na Gondwaně, slavný po jejím rozštěpení (citace v souvislost s deskovou tektonikou a konfigurací kontinentů)



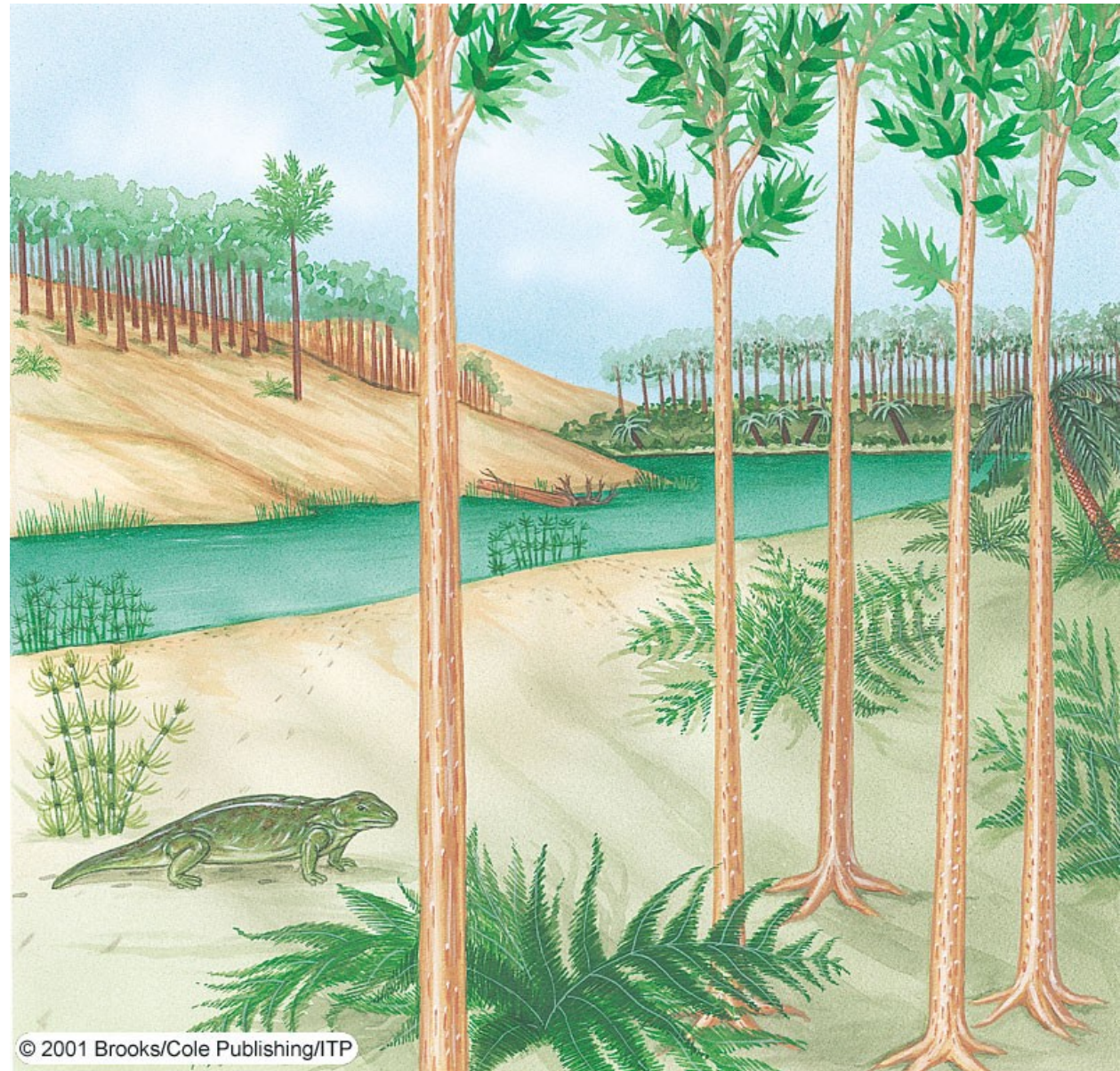
Glossopteris sp., listy,
Perm, Afrika

Během karbonu nastupují rostliny cestu k nahosemenným. V jejich úsvitu stojí též **kordaity**, které vbrzku dosáhly stromovitých výšek (~ 30 m), řazené některými autory již k jehličnatým, zjednodušení listů, listy nasedají ve šroubovnici



Kordaitový les

- Tyto lesy jsou časté už od svrchního karbonu
- Kordaity – nahosemenné - výhodou nahosemenných bylo, že už nebyly vázány na vlhké prostředí a migrovaly do volných suchých a také geograficky vyšších míst



Jehličnany – první zástupci



Walchia hyonoides,
Pinopsida, perm



Walchia piniformis
Pinopsida, perm

Obraz fauny v permokarbonu:

Moře: - rozvoj bentózních vápnitých foraminifer (Fusulinida)

- v bentosu vedle brachiopodů (útesotvorní) dominují lilijice (horninotvorný význam), diverzifikují ježovky
- útesy tvoří především mechovky
- mezi mlži hrají roli epiplanktonní skupiny, mlži migrují intenzivně do sladkých vod, dtto plži, včetně vlhkých prostředí = Pulmonata (karbon)
- hlavonožci - amoniti – goniatitový šev
- trilobiti ustupují (pouze stratigrafický význam), na hranici Pe/Tr vymírají
- obratlovci v mořích – dominance akantodů – spolu se žraloky migrují do sladkých vod, ve skupině Actinopterygii dominují Chondrostei (řídkokostní, Paleoniscida)
- v mořích nastupují ve svrchním permu i plazi (notosauři, euryapsidní), biologicky = dnešní tuleni a lachtani (tj. rozhraní prostředí)

Souše:

- obrovská radiace členovců, prakticky všechna tracheata (mnohonožky, stonožky, hmyz), spolu s nimi predátorské skupiny (pavoukovci, škorpioni)
- především radiace hmyzu bezkřídleho (chvostokoci, šupinušky, rybenky),
- během karbonu migruje hmyz jako první skupina i do vzduchu. Starokřídle hmyz – biologicky podobný vážkám (neskládají křídla), koncem karbonu – novokřídle hmyz (skládání křídel, tvorba krovek – fosilizace). **Hmyz získává svoji dominantní pozici v rozmanitosti** a drží ji dodnes,
- rozvoj bezobratlých na souši připravil půdu pro rozrůznění a diversitu životních strategií u suchozemských tetrapodů. V karbonu především Amhibia, z nich pak krytolepci (< predátoři), v závěru karbonu – Antracosauria s řadou plazích znaků – cesta k plazům (vajíčko a amniovém vaku, allantois, eliminace larválního stadia, ? neotenie?, evoluční výhoda = expanse do prostředí suché země).

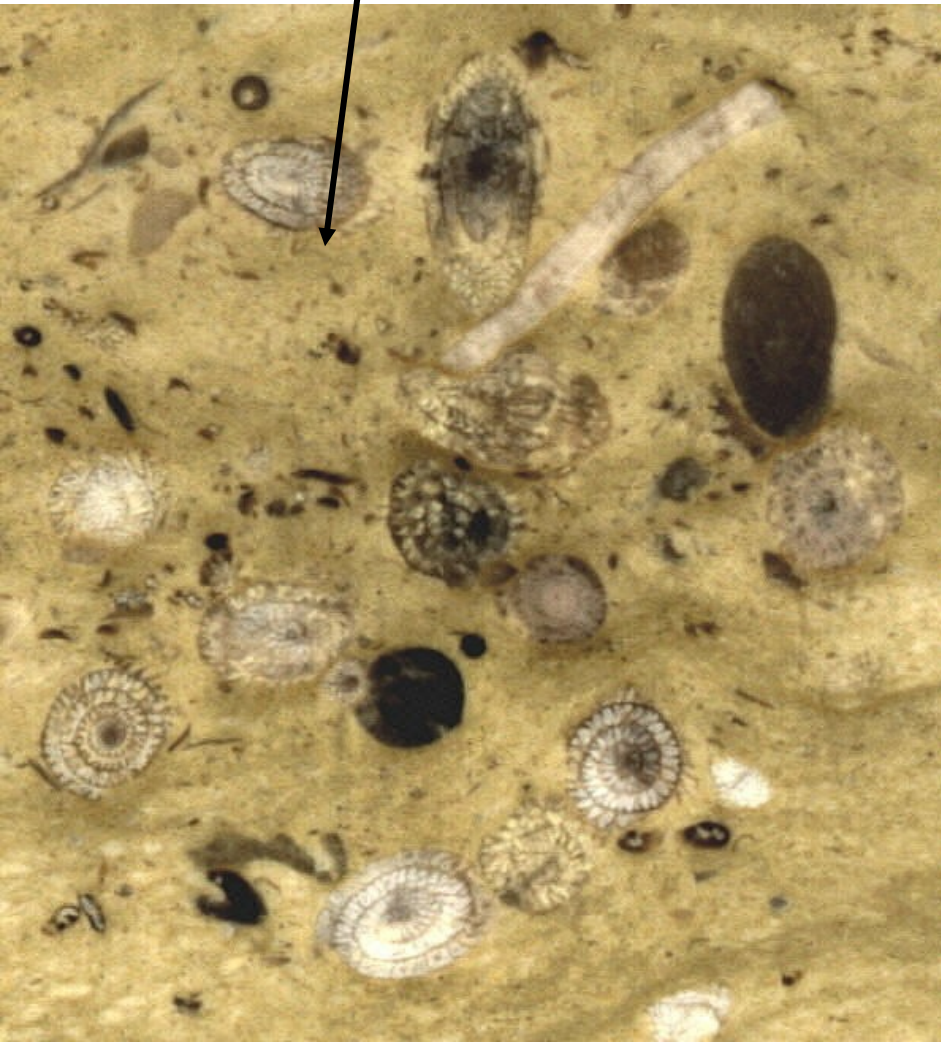
Plazi:

- **úprava těla: zamezení vysychání, vnitřní oplození, dokonalejší krevní oběh,**
- **stavba končetin, větší mozek, zesílení čelistního aparátu etc. vede k možnostem využití dalších strategií a nových nik.**
- **K nejstarším patří *Westlothiana* (sp. karbon) a *Hylonomus* (sv. karbon).**
- **Ve svrchním karbonu nastupuje skupina plazů již se savčími znaky (tzv. savcovití plazi – Pelycosauria, synapsidní, někteří ?? teplokrevní).**
- **Z nich během permu vznikají therapsidi (synapsidní) s výraznější koncentrací savčích znaků (včetně osrstění a teplokrevnosti – odpověď na aridizaci klimatu).**
- **Zakládají již konkrétní cestu k triasovým savcům.**

Moře:

V dírkovcovém betosu hrála velkou roli skupina Fusulinida – velké vřetenovité formy (CaCO_3) – časté jsou fusulinové vápence

Parafusulina sp.
bar = 1 cm,
sp. perm



Stewartina sp., řez fusulinidní foraminiferou, Californie
sp. perm,

Bivalvia – v karbonu velmi rozšířené epiplanktonní skupiny



Posidonia becheri, spodní karbon,
Nížký Jeseník,
častá v tzv. „posidoniových“ břidlicích

Carbonicola acuta
svrchní karbon, délka 2.5 cm,
kolonizace sladkých vod



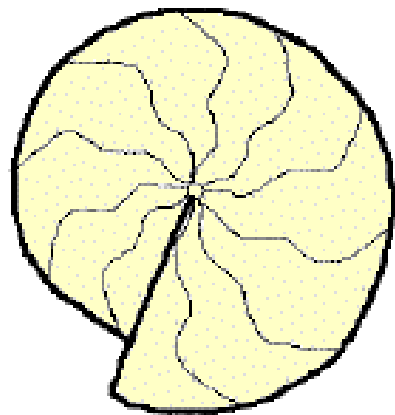
Gastropoda



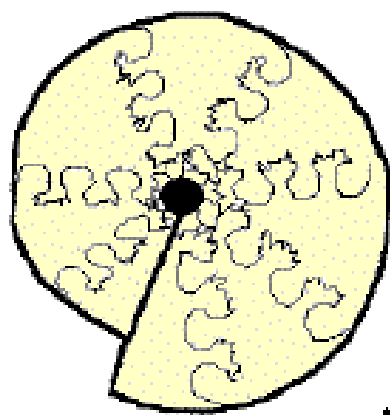
Euomphalus pentagulatus, spodní karbon, St. Douglas, Irsko

Mollusca

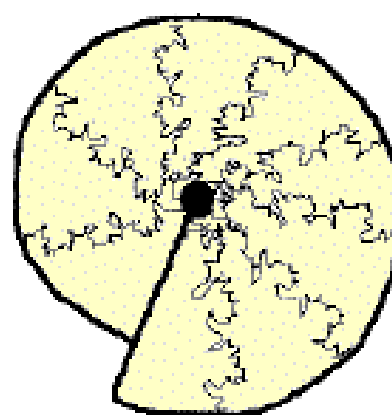
Ammoniti s goniaticovým a ve svrchním permu již ceraticovým typem švu



Goniatic



Ceratic



Ammonitic



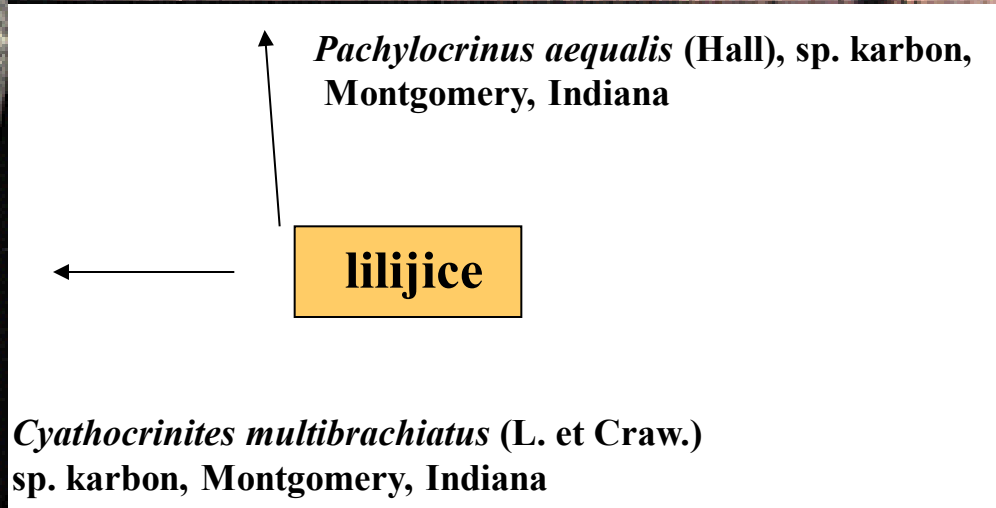
of aperture

Goniatites sp.





fenestrátní mechovka z řádu Stenolaemata,
Sonoita, USA, perm



Pachylocrinus aequalis (Hall), sp. karbon,
Montgomery, Indiana

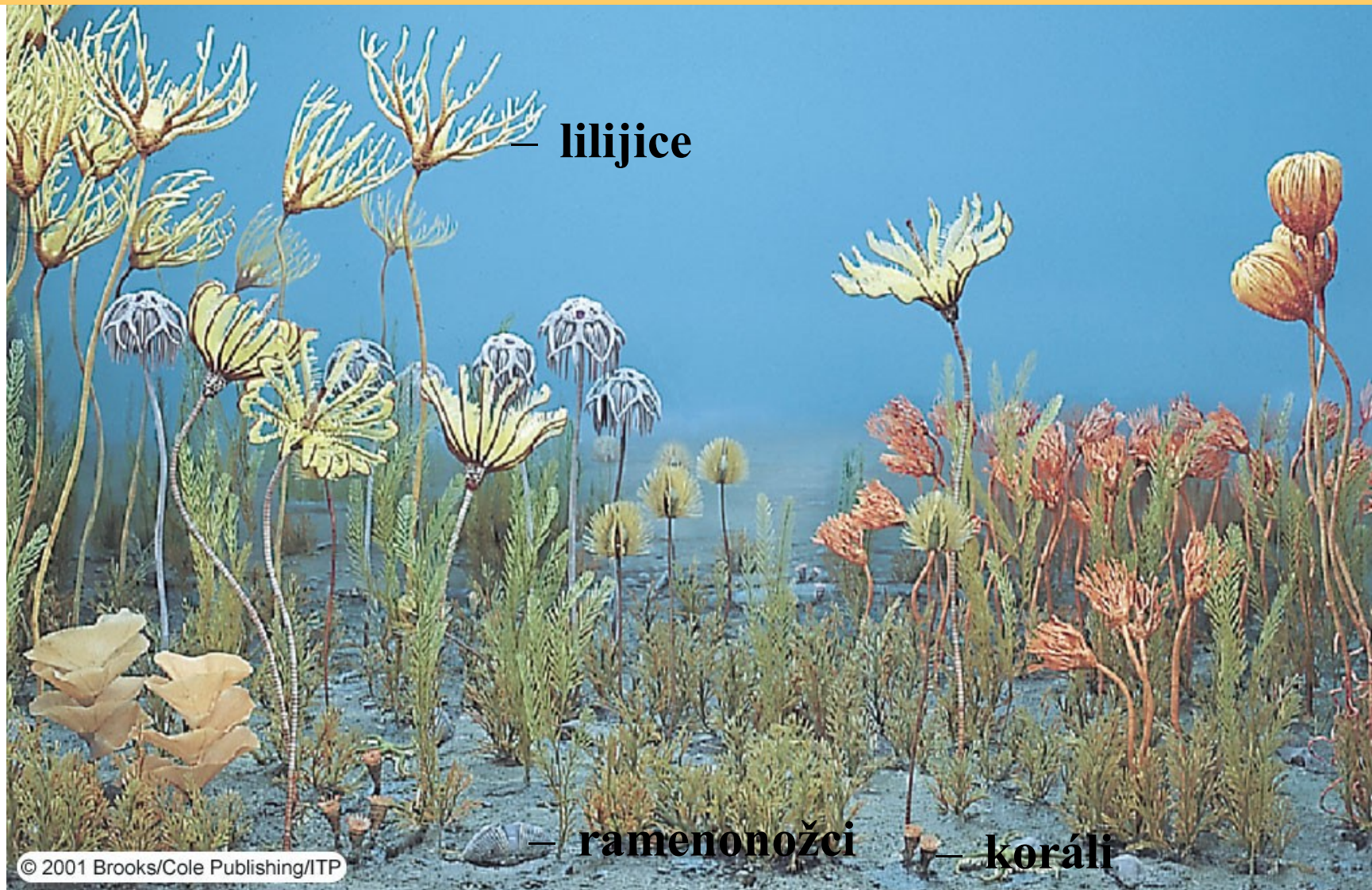
libellice

Cyathocrinites multibrachiatus (L. et Craw.)
sp. karbon, Montgomery, Indiana



Pentremites, Blastoidea, karbon, USA

Ukázka života ve spodnokarbonském mělkovodním moři (lokalita Crawford, Indiana)



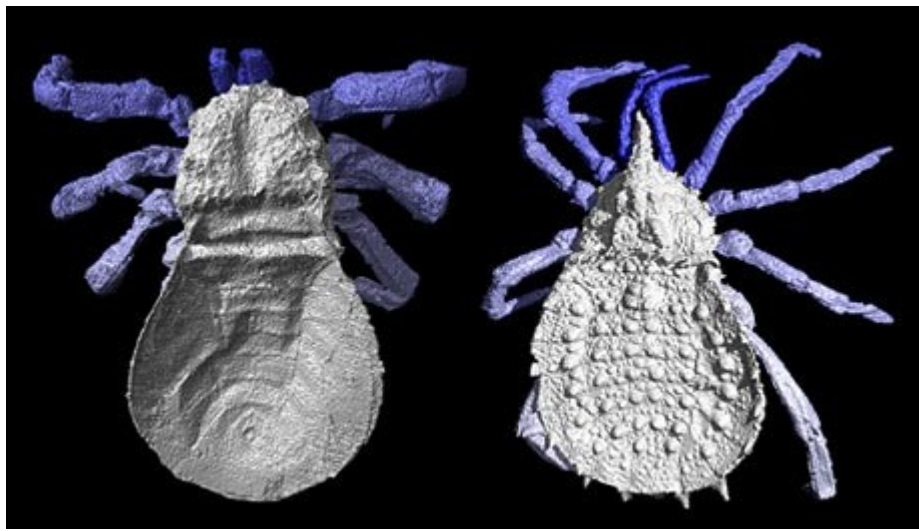
– lilijice

– ramenonožci

– koráli



**Francie, Monceau – les – Mines, sideritové
nodule, stefan, trigonotarbidní arachnida a další
insekta
(Gaarwood, 2010) - modely**



Anthracomartus hindi (vlevo), *Eophrynus prestvicii* (vpravo),
Francie, sideritové nodule, stefan, trigonotarbidní arachnida, netkali, dravci,
(Gaarwood, 2010) - modely

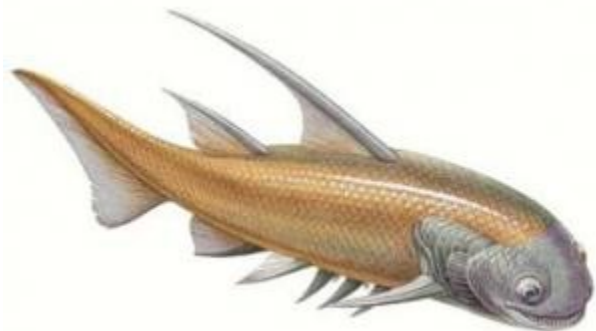


Eophrynus prestvicii, fosílie



Akanthodi – trnoploutví
< sladké vody, nekton, dravci,
nástup v siluru, vymírají v permu,
ČR: Podkrkonoší, plzeňská pánev,
Boskovická brázda

Acanthodes gracilis, perm, Německo

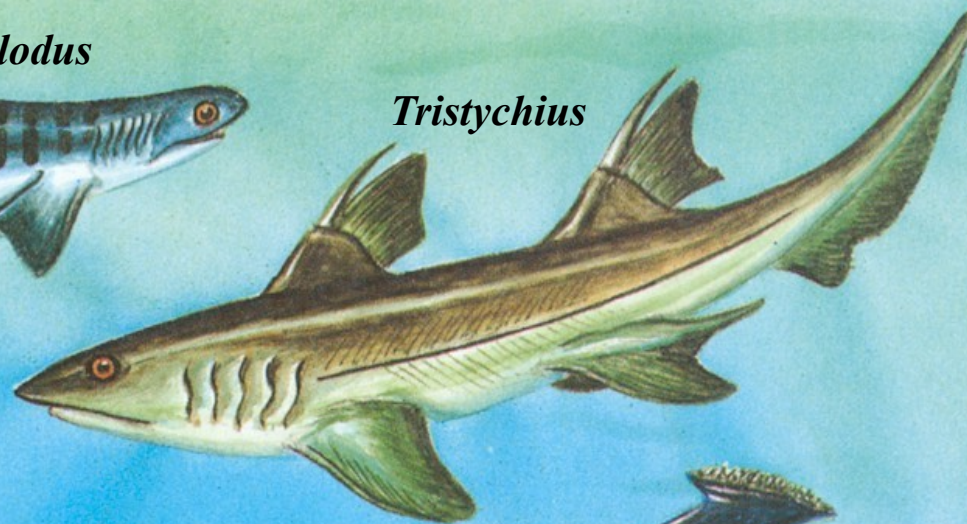


Model akantoda

**Karbonští zástupci žraloků
přecházejí i do sladkých vod**



Cobelodus



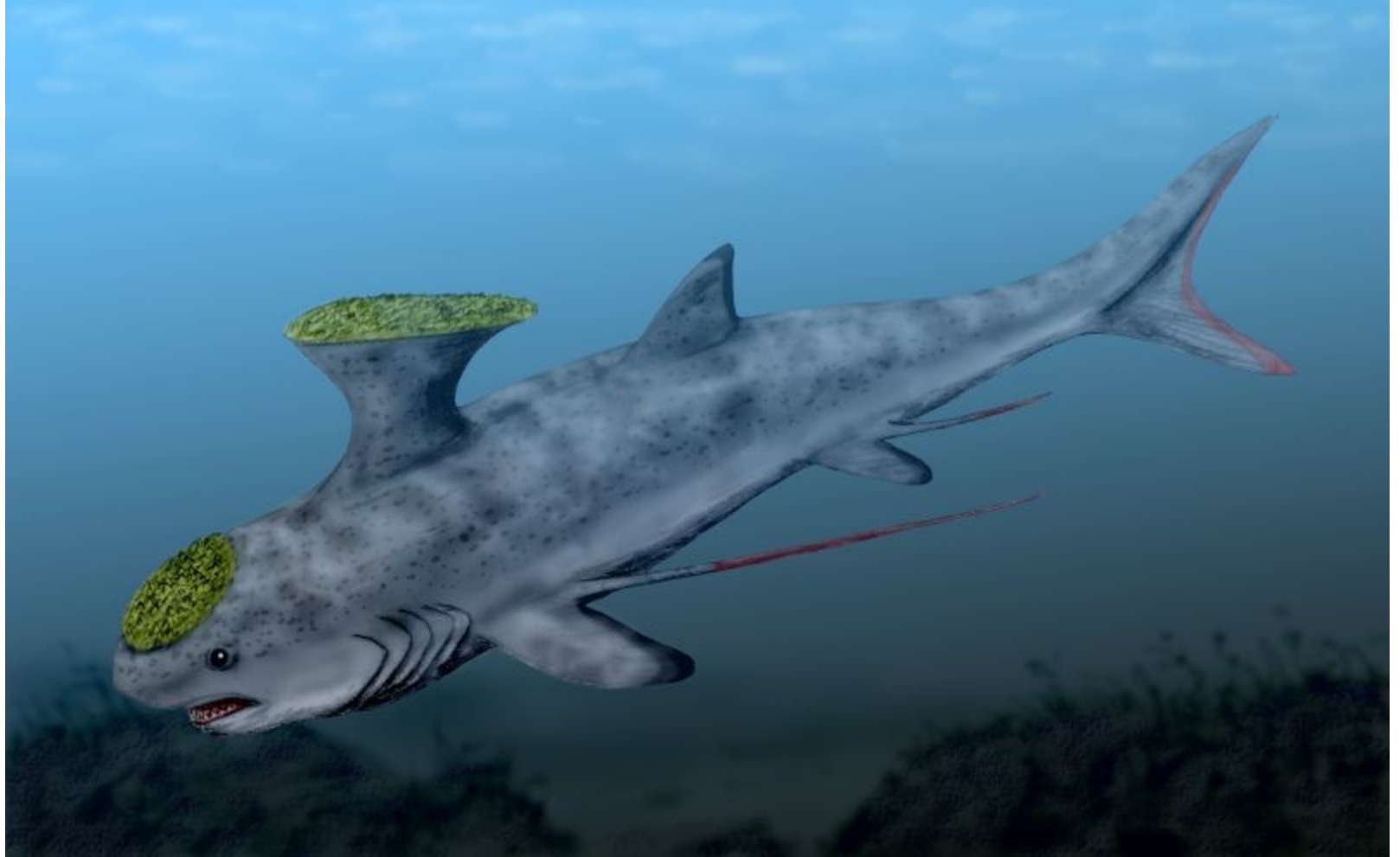
Tristychius



Deltoptychius



Stethacanthus



Stethacanthus – viz též MK

**Elasmobranchii
zuby, sp. karbon**



Akmonistion sp.

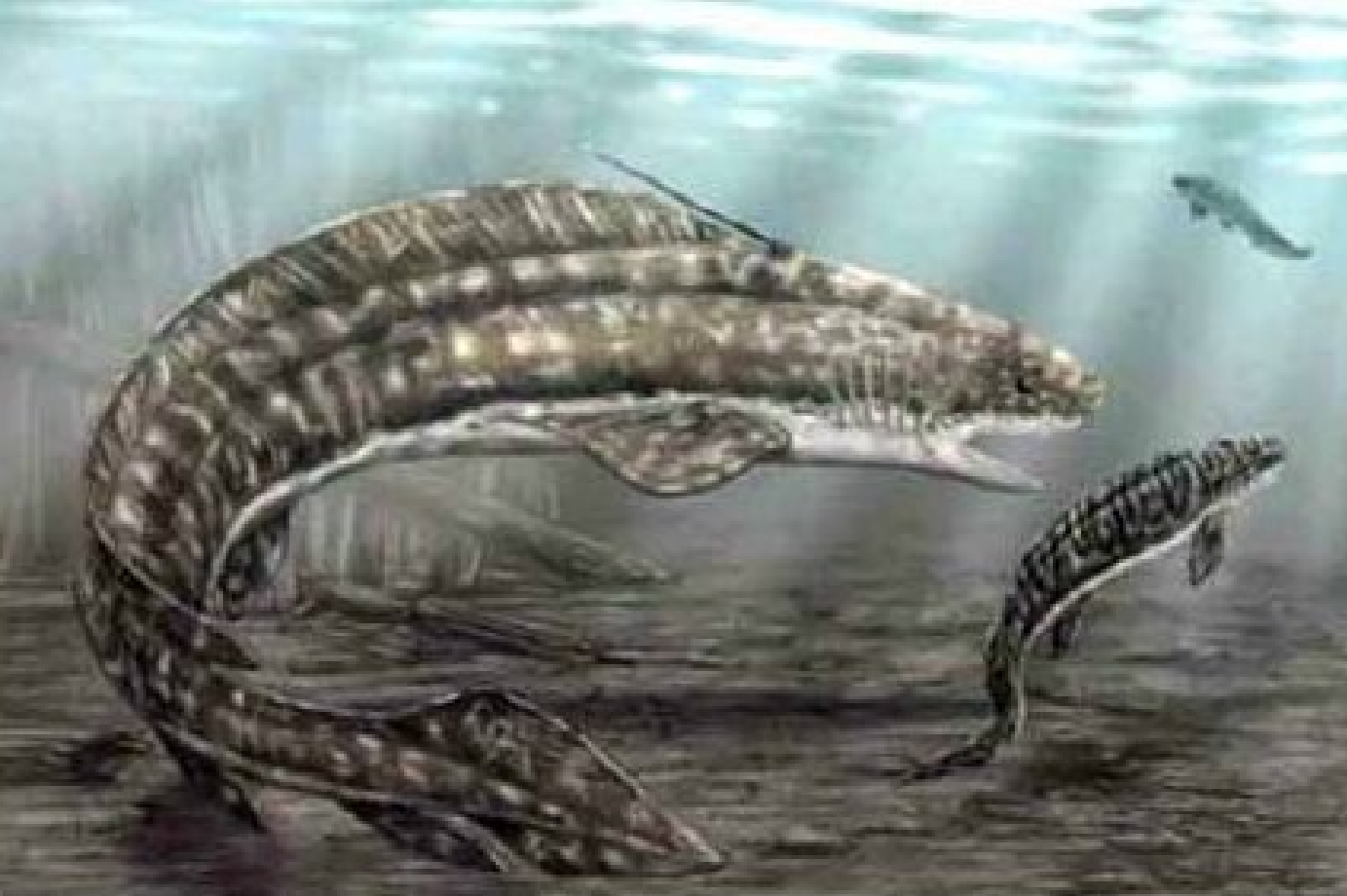


Denaea sp.



Symmorium sp.

**Zuby těchto rodů též v líšeňském souvrství při hranici De/Ca
v Moravském krasu (Kumpan, 2013)**



Orthacanthus - zub

Orthacanthus, typický permský sladkovodní žralok
např. České permokarbonské pánve



Orthacanthus sp., perm, stř. Čechy



Wodnika striatula Munst., sv. perm, Polsko

Zuby sladkovodních žraloků



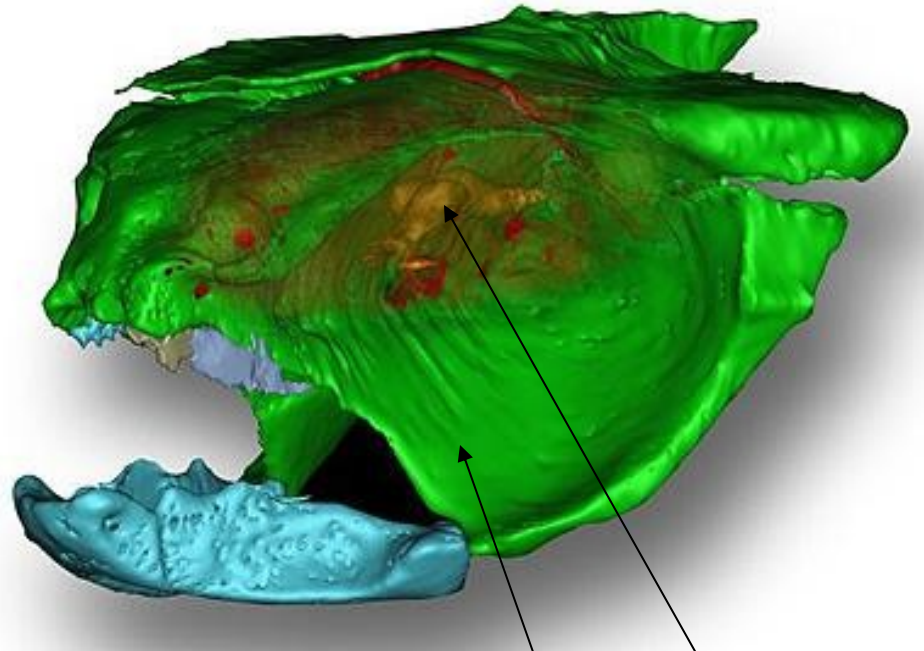
©Bone Clones® 2010



Helicoprion, sp. perm, Ural



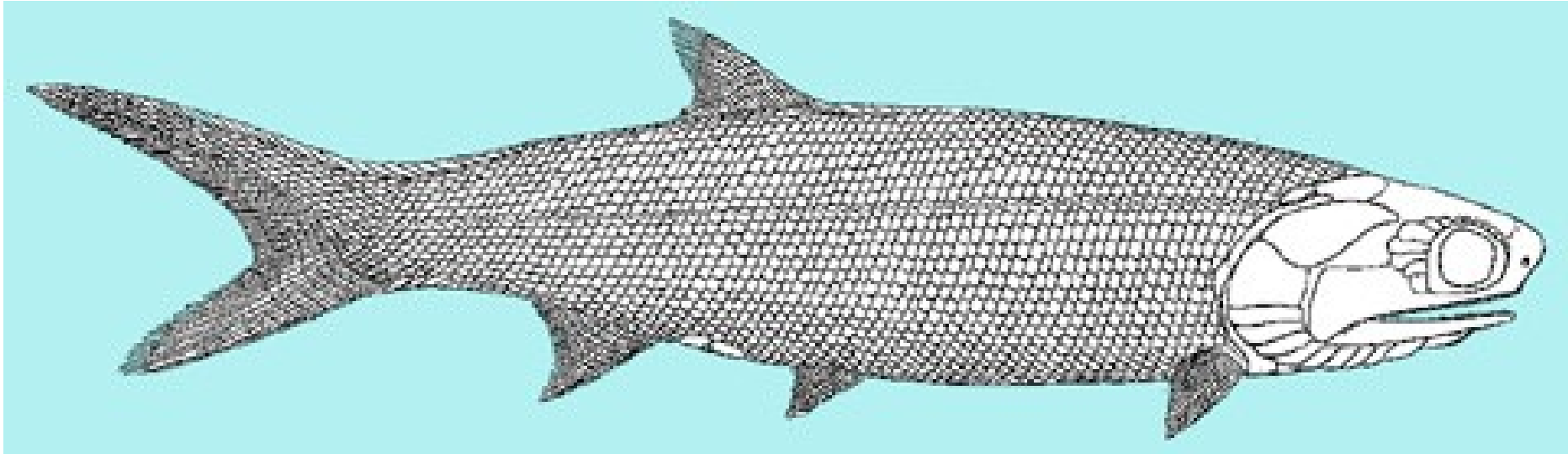
fosilní lebka (přední pohled)



**tomografický obraz lebky a mozku
ze synchrotronu v Grenoblu (boční pohled)**

Zástupce fosilní skupiny Iniopterygii (příbuzná recentním chimérám) z nejvyššího karbonu Kansasu a Oklahomy (~300 Ma), dosud nejstarší doklad mozku, tvar zvukovodu ukazuje na neschopnost vertikální orientace => horizontální pohyb u dna (špatný plavec)

Paprskoploutví (Actinopterygii) – převážně Chondrostei (Paleoniscida)



Palaeoniscus, karbon,
Čechy, rekonstrukce



Paramblypterus sp., perm, Bačov u Boskovic

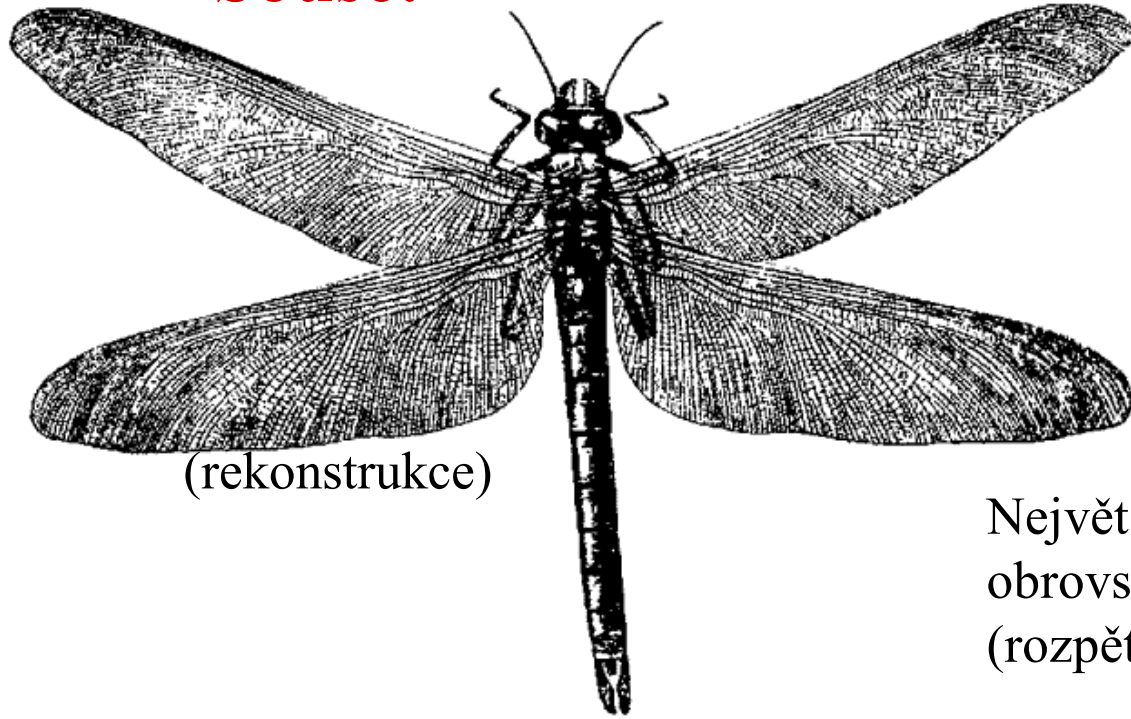


Paramblypterus – model



***Radinichthys alberti*, Palaeonisciformes,
tournai, Albert Shale, Canada**

Souše:

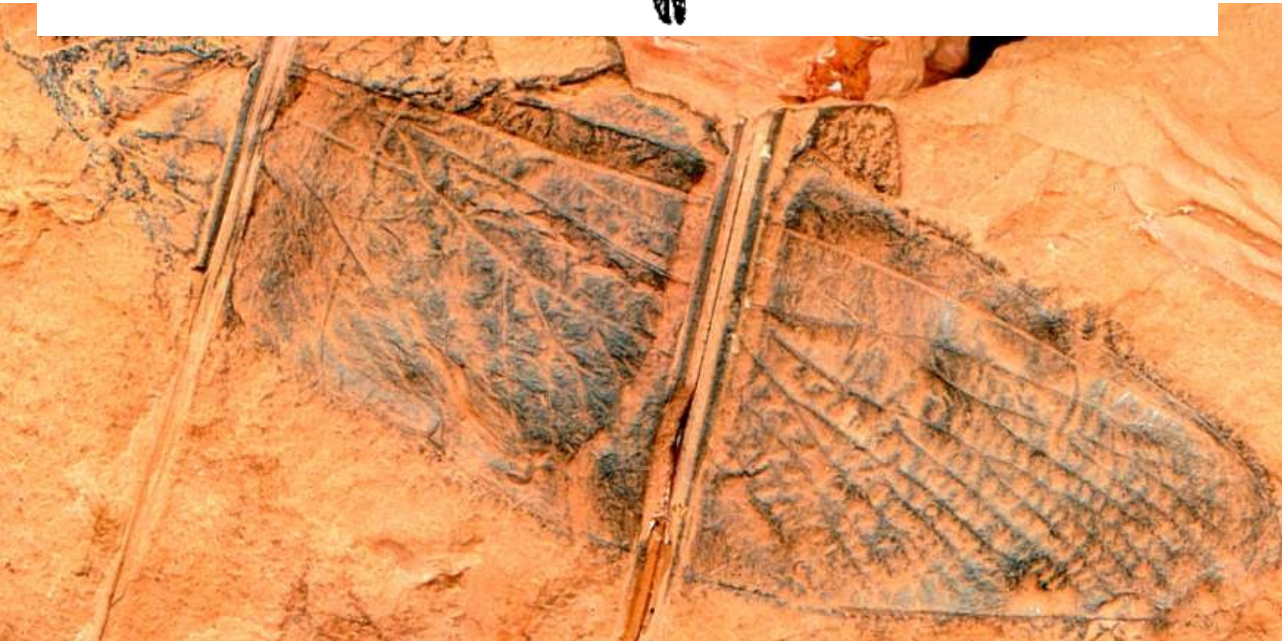


(rekonstrukce)

Hmyz

(křídla – z žaberních přívěsků při
terrestrializaci,
Palaeodictyoptera neskládají,
Neoptera – perm – skládají)

Největší karbonský **hmyz** představovala
obrovská vážka *Meganeura monyi*
(rozpětí křídel až 75 cm)



(fossilní otisk křídla)

Další ukázky (otisky) svrchnokarbonských tracheat:

mnohonožky

stonožky

Late Pennsylvanian
myriapod (millipede)

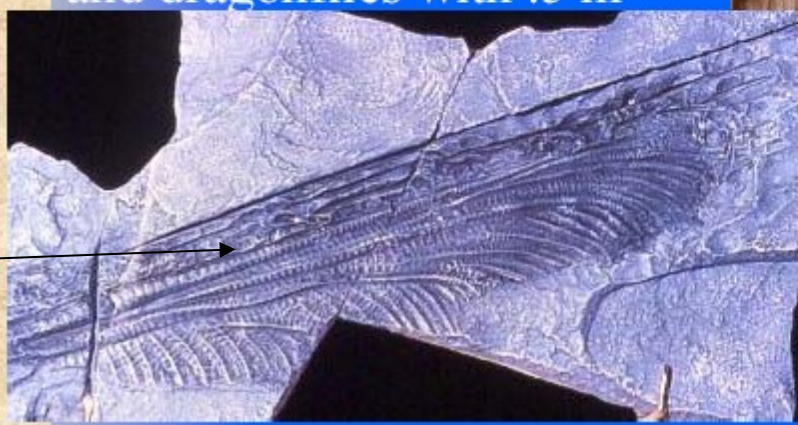
Late
Pennsylvanian
centipede from
Mazon Creek



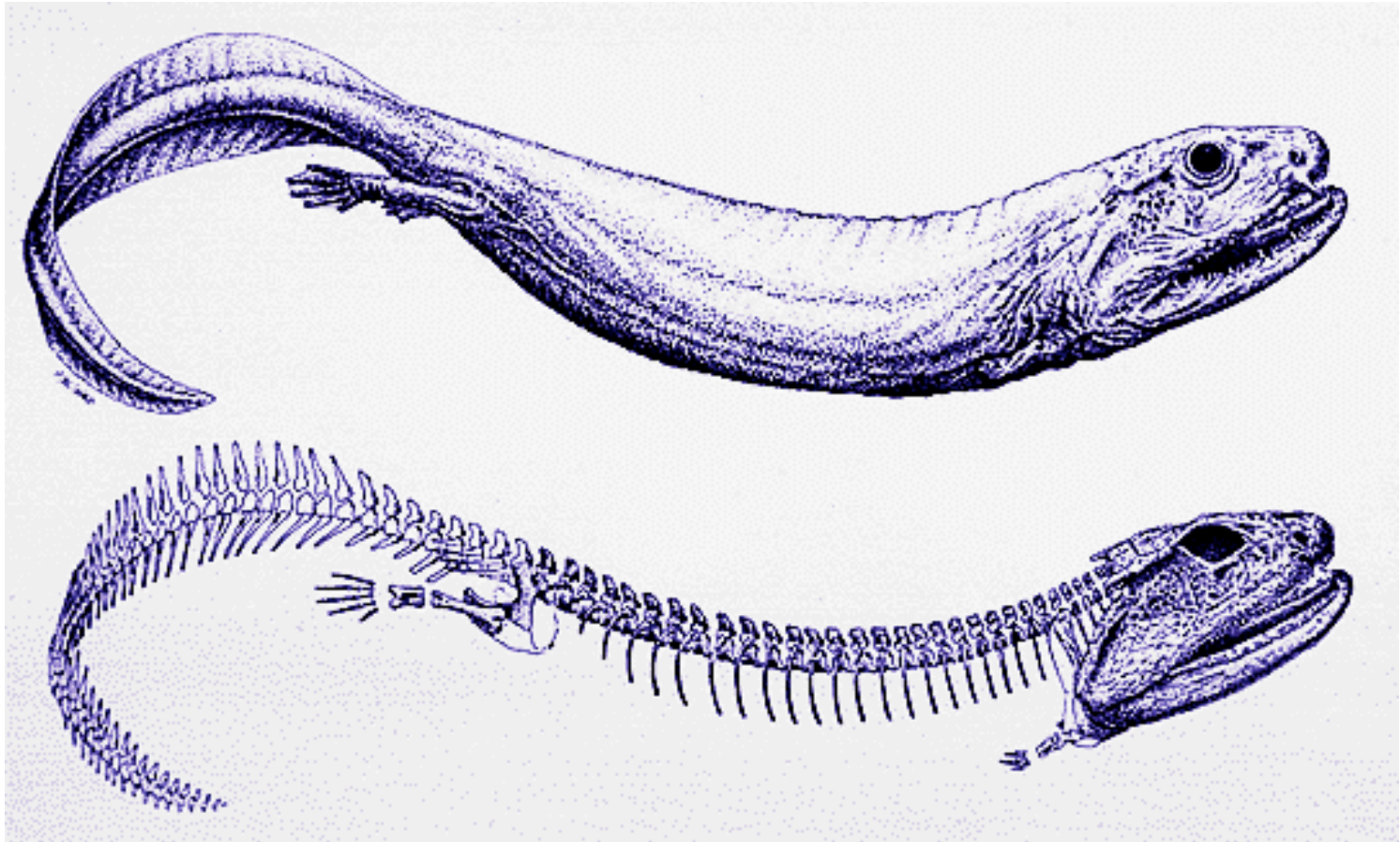
Age of Cockroaches (15 cm)
and dragonflies with .5 m

Insect similar
to katydid

vážky



Rozvoj moderních obojživelníků



Crassigyrinus scoticus, spodní karbon, Skotsko,
nejstarší známý moderní obojživelník, ? vztah k
vráskozubým

Amphibia, Labyrinthodontia. Karbon – věk obojživelníků, převážně dravci.



***Eryops*, labyrinthodontní obojživelník (vráskozubí), svrchní karbon S. Ameriky, labyrinthodonti směřovali k savcovitým plazům**



***Discosauriscus (Letoverpeton) pulcherrimus* (Fritsch, 1879), Labyrinthodontia,
boskovická brázda, perm**



kostra



model



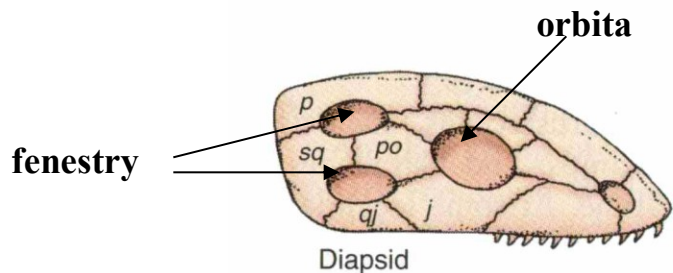
Discosauriscus austriacus,
sp. perm, Drválovice

Discosauriscus, perm, (např. Boskovická brázda)

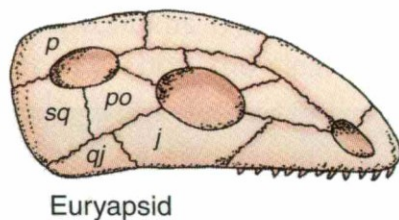


Discosauriscus sp., rekonstrukce – krytolebci, obojživelníci, perm
(např. Boskovická brázda, Bačov)

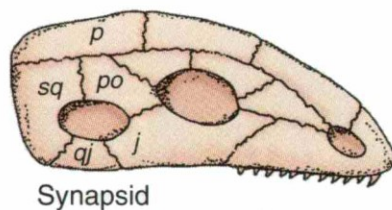
Stavba plazí lebky, vztah spánkových jam (fenestrae, upínání čelistních svalů) a orbity = cesta potravních strategií



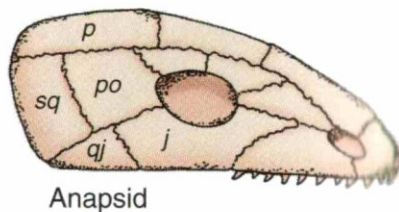
↑ hranice karbon/perm



perm



↑ nejvyšší karbon

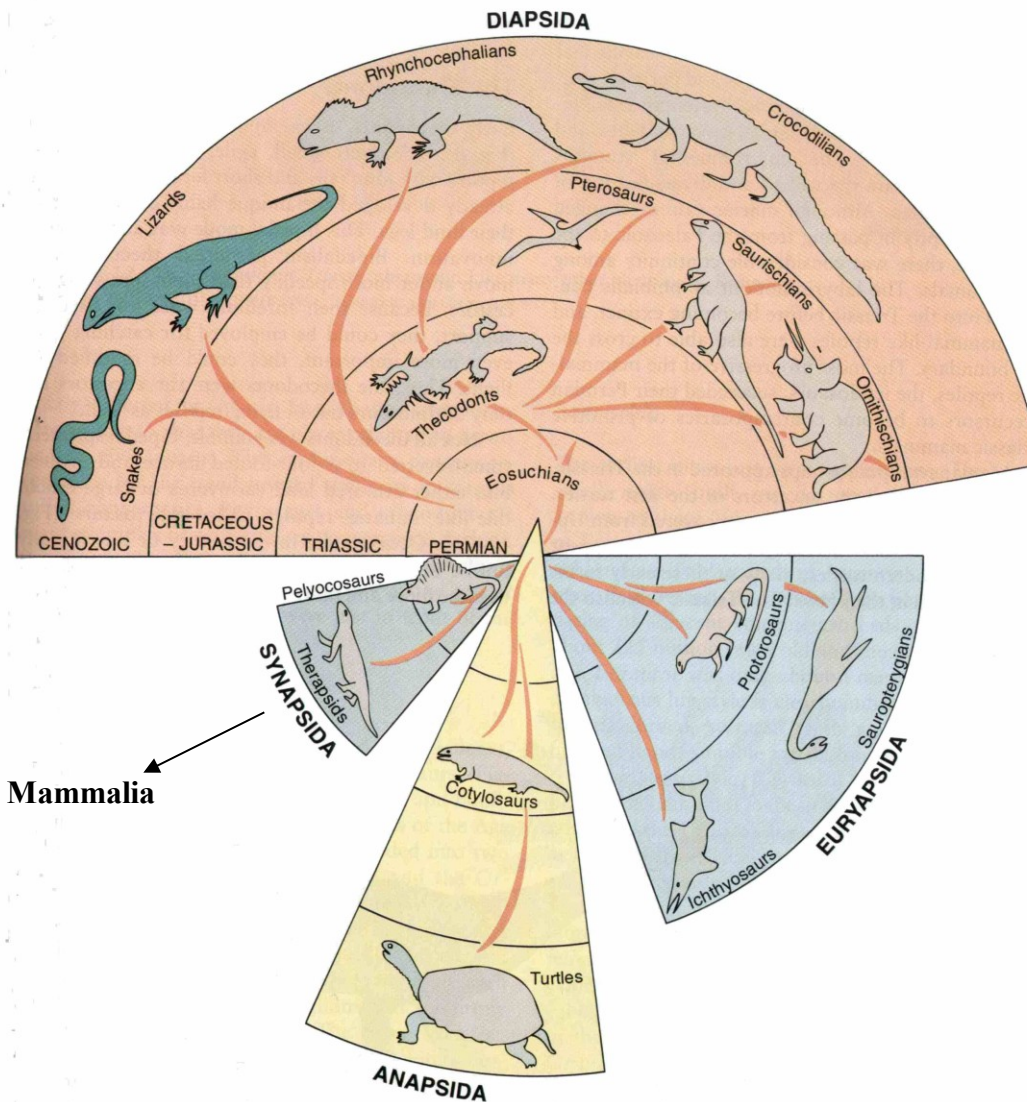


↑ sv. karbon

FIGURE 12–23 Reptile skull types. (*p*, parietal; *sq*, squamosal; *po*, postorbital; *j*, jugal; *qj*, quadratojugal.)

🗣️ In which of the above groups are dinosaurs placed?

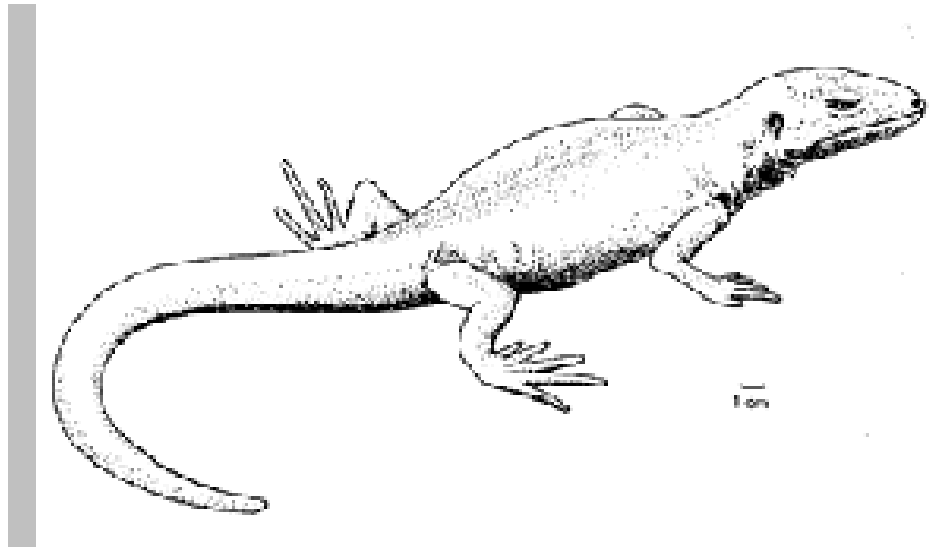
Evolve a velké skupiny plazů



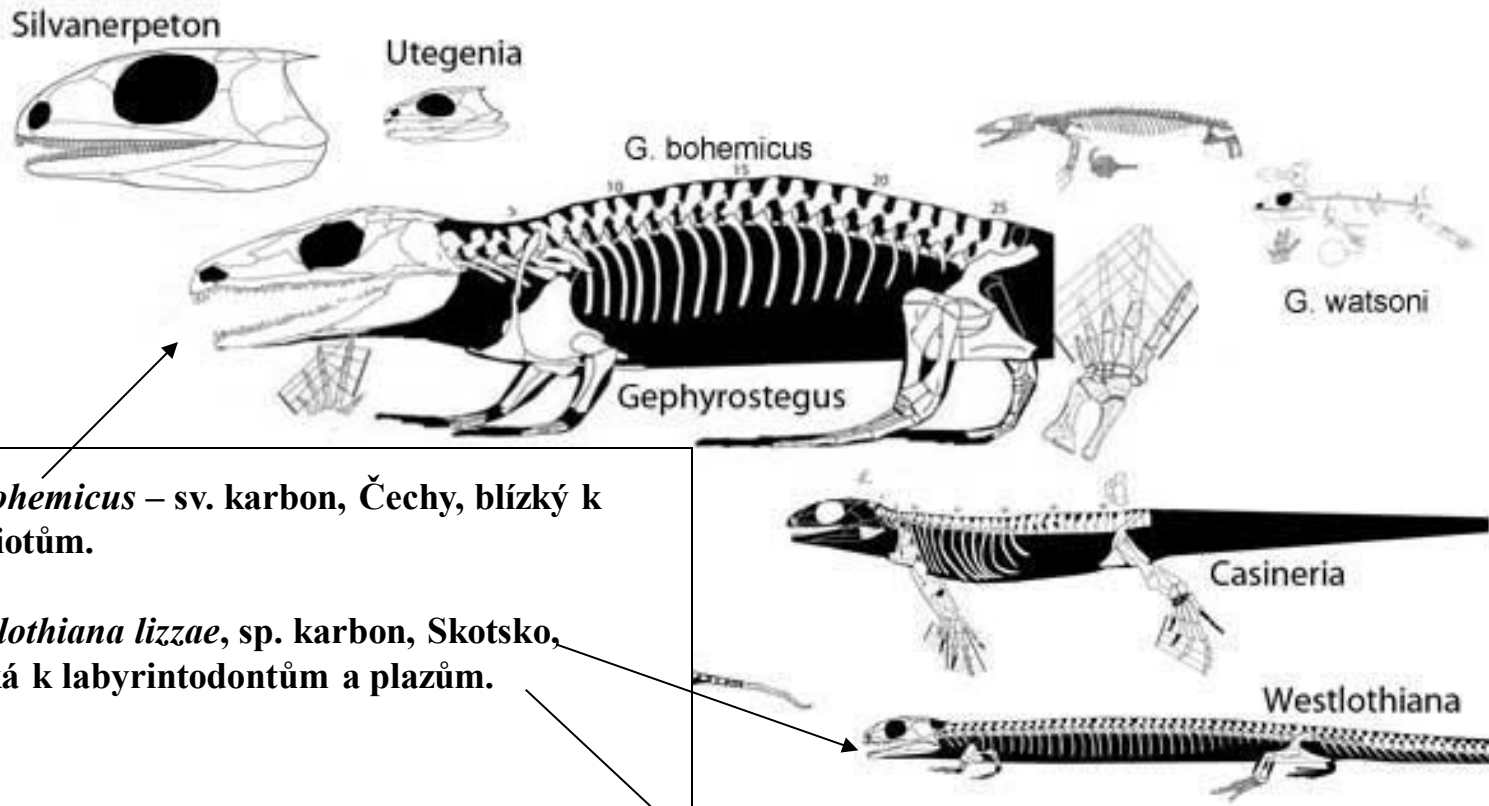
Mammalia

FIGURE 12-24 Evolution and general classification of reptiles. In this classification, reptiles are grouped according to the position and number of temporal openings in the skull (see Fig 12-23). Anapsida have no openings. Diapsida have two, Synapsida have one located low on the skull, and Euryapsida have one located higher on the skull. Rhynchocephalians, crocodillians, pterosaurs, saurischians, ornithischians, and thecodonts are diapsids of the superorder Archosauria. (From Colbert, E. H. 1969. *Evolution of the Vertebrates*. New York: John Wiley & Sons.)

V karbonu zesilují plazí znaky



Gephyrostegus, Amphibia, Reptiliomorpha, karbon



G. bohemicus – sv. karbon, Čechy, blízký k amniotům.

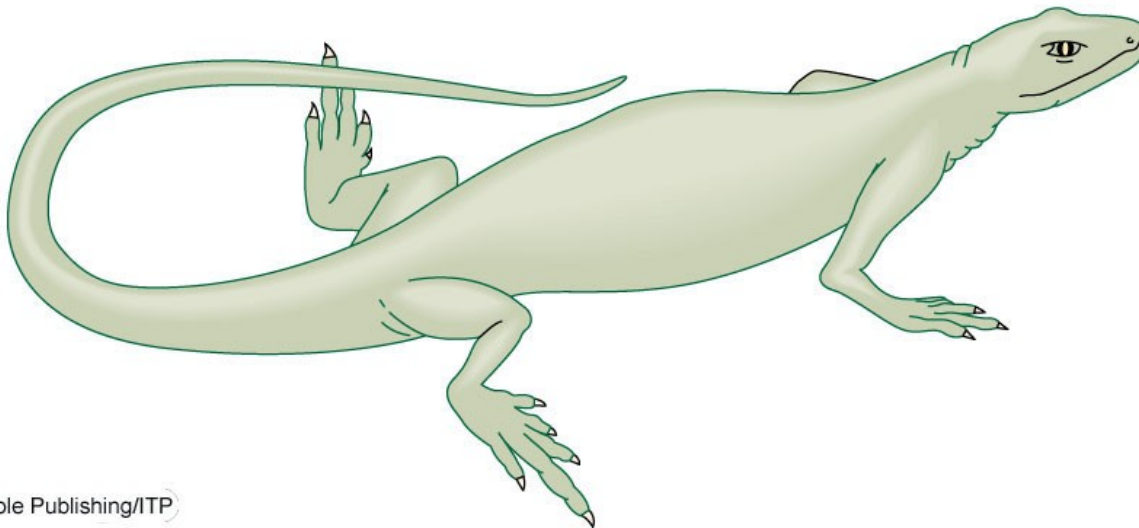
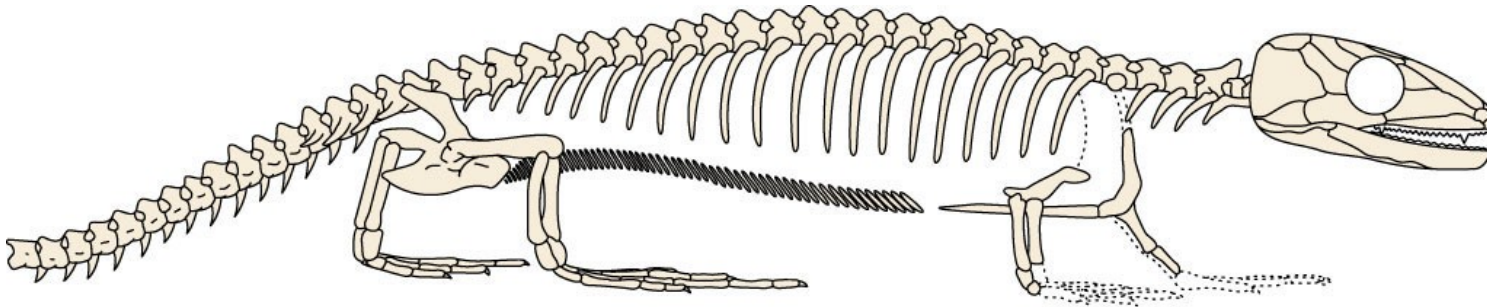
Westlothiana lizae, sp. karbon, Skotsko, blízká k labyrinthodontům a plazům.

(skupiny dokumentující mozaikovou evoluci od obojživelníků k plazům – Reptiliomorpha)



Úsvit plazů

- Rekonstrukce a kostra druhu *Hylonomus lyelli* ze svrchního karbonu – cca 30 cm (Captorhinomorpha)





Hylonomus lyelli

(horní čelist, Nova Scotia, Ca,
Nat. Hist. Mus., 2012)



(část trupu, UUA, 2009)

***Hylonomus* – jeden z prvních známých amniotů
(rozmnožování
mimo vodní
prostředí)**



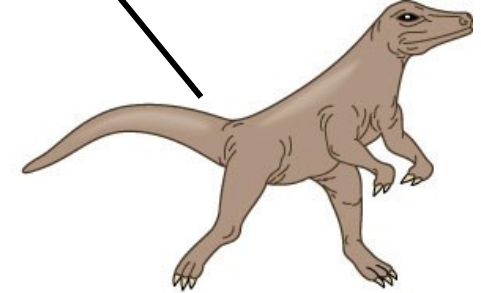
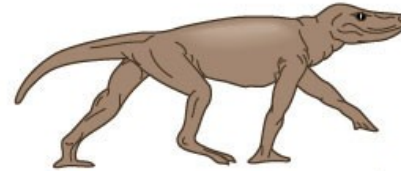
k dinosaurům, pterosaurům a krokodýlům

k savcům

diapsidní

synapsidní

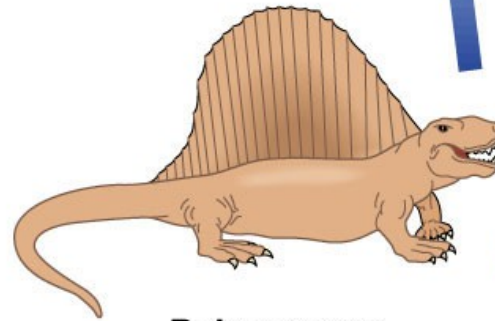
TRIAS



Therapsids
(Permian–Triassic)

Thecodontians
(Permian–Triassic)

PERM

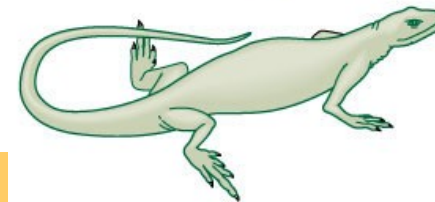


synapsidní

Pelycosaur
(Pennsylvanian–Permian)

anapsidní

KARBON

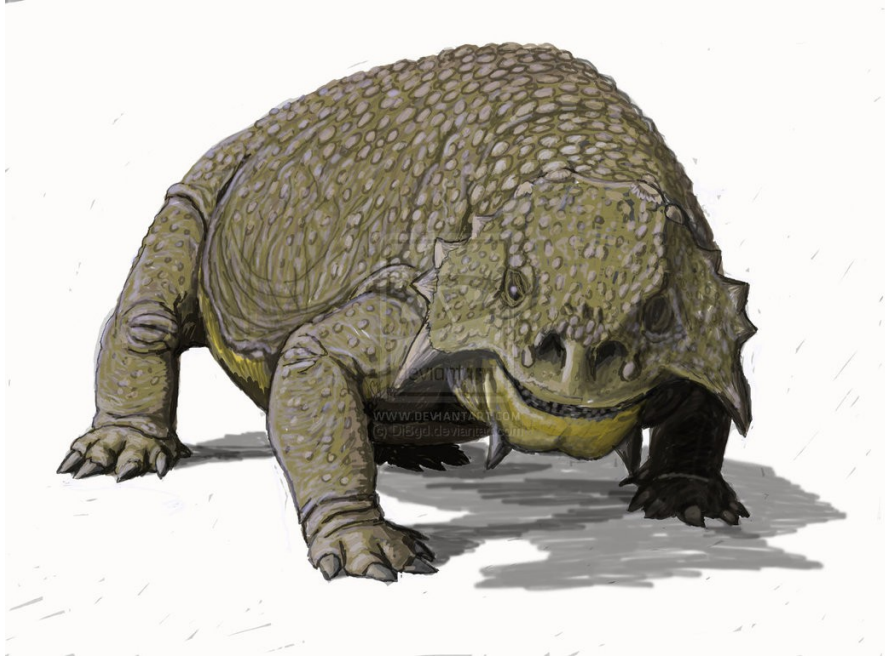


Protorothyrids Captorhinids
(Pennsylvanian–Permian)

Během karbonu vznikají z obojživelníků plazi,
z nichž se v triasu odštěpují savci



***Labidosaurus hamatus*, Captorhina, Anapsida, sp. perm, Oklahoma, Arroyo Fm.**



***Scutosaurus* (Anapsida, Pareiasauroidea), perm,
~ velikost slona, herbivorní (viz zuby)**

Cestu k savcům dokládají:

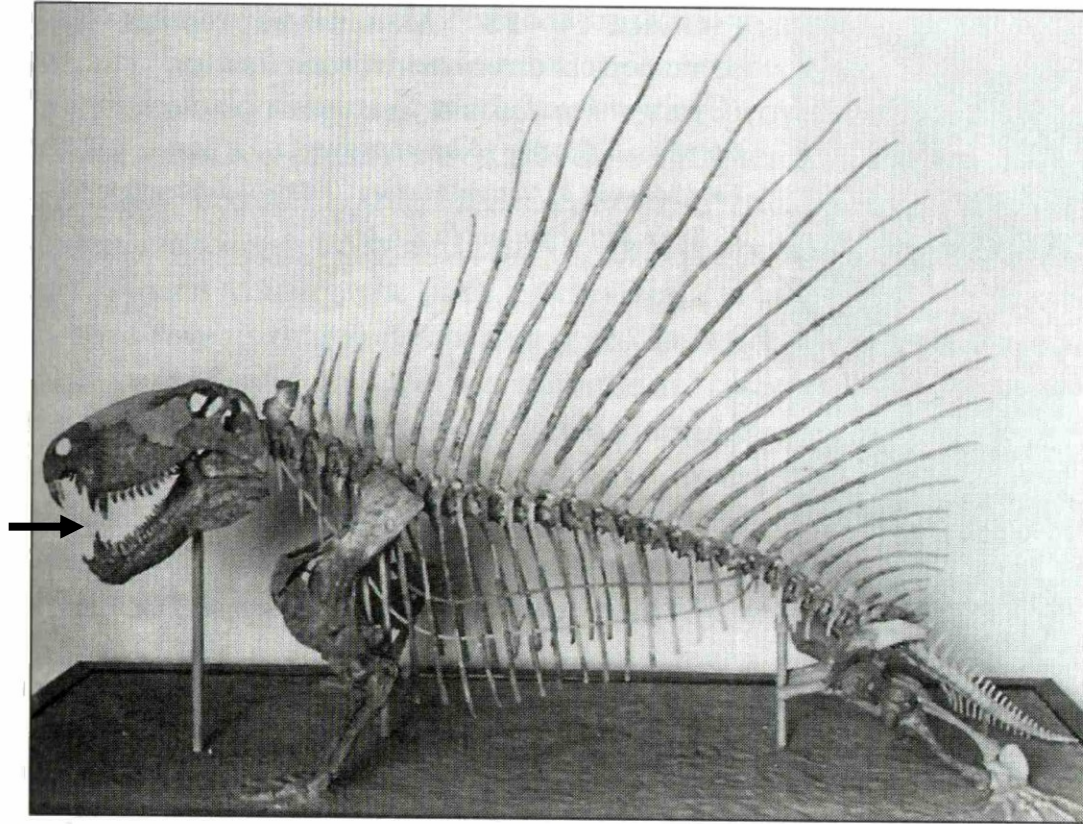


FIGURE 10–82 Mounted skeleton of the Permian “sail-reptile” *Dimetrodon gigas*. The tail was actually somewhat longer. (Courtesy of the U. S. National Museum of Natural History, Smithsonian Institution.)

Pre-Є | Є | O | S | D | M | P | Pr | Tr | J | K | T | Q

Kostra permského pelykosaura (diferenciace chrupu), *Dimetrodon gigas*, perm

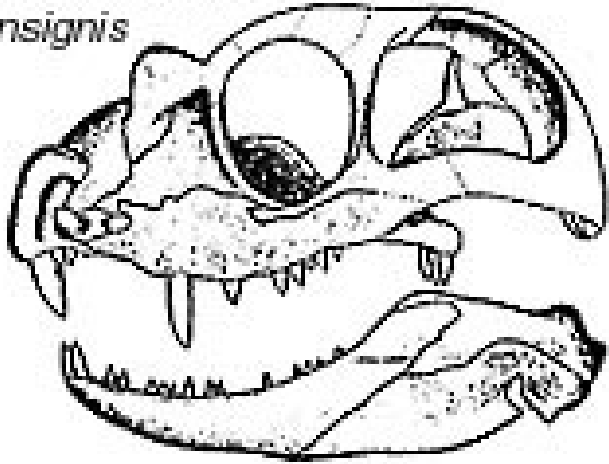
Rekonstrukce pelykosaurů v krajině



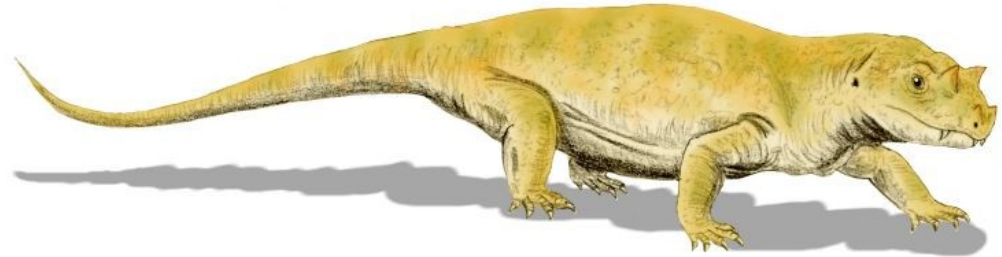
Edaphosaurus - zástupce pelykosaurií
ještě jednou, herbivorní



*Tetraceratops
insignis*



lebka



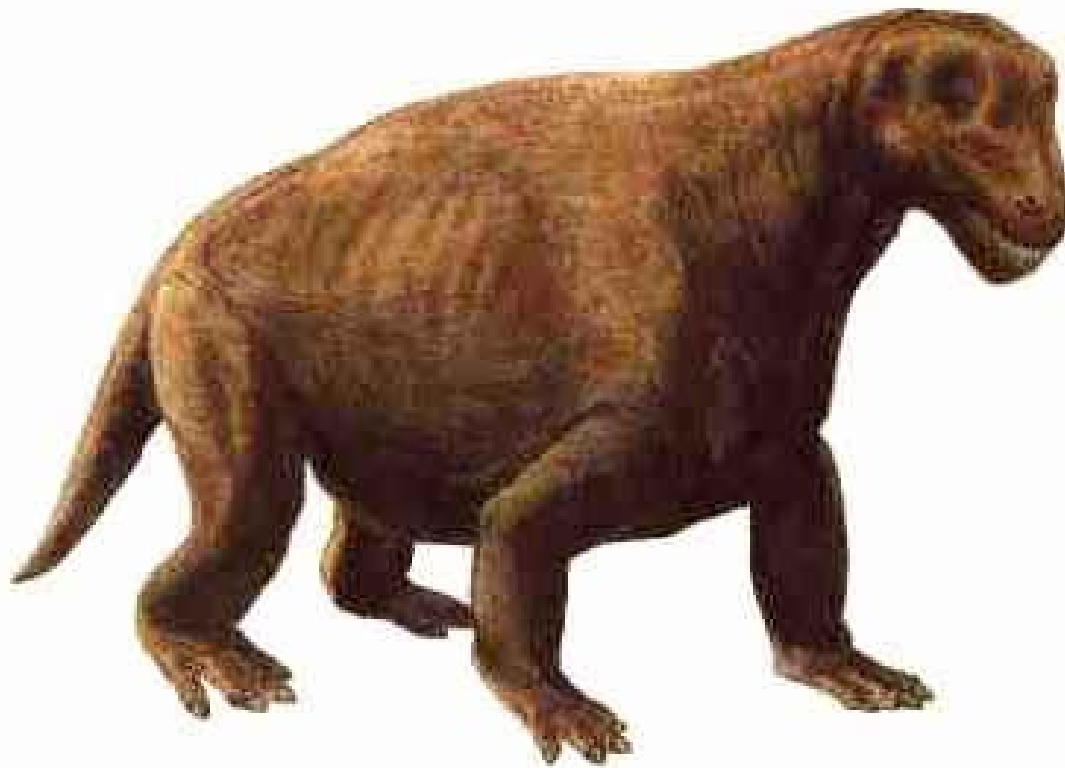
interpretace

***Tetraceratops insignis*, sp. perm, Texas,
Sev. Amerika – nejstarší známý therapsid,
reprezentuje přechod mezi pelikosaury a therapsidy
? ještě herbivorní**

Therapsida – nahradila koncem sp. permu pelykosaury,
byla zřejmě endotermní, silná diferenciacce chrupu



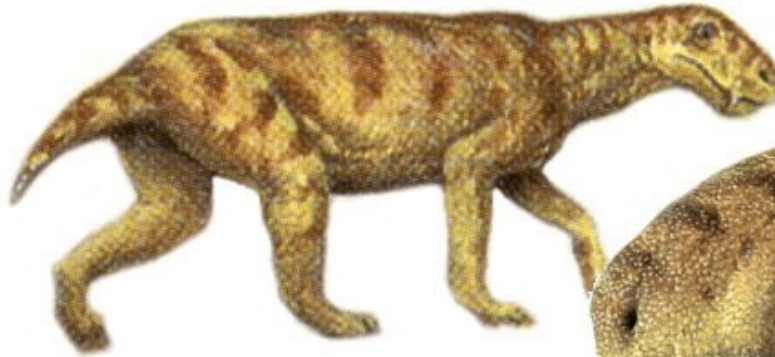
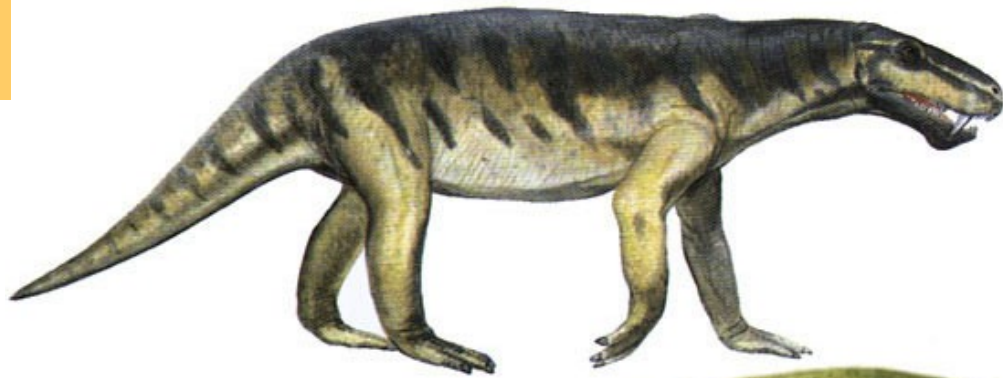
Sauroctonus – synapsidní lebka, silný již diferencovaný chrup – jeden z největších permských dravců (Rekonstrukce J. Augusta - Z. Burian)



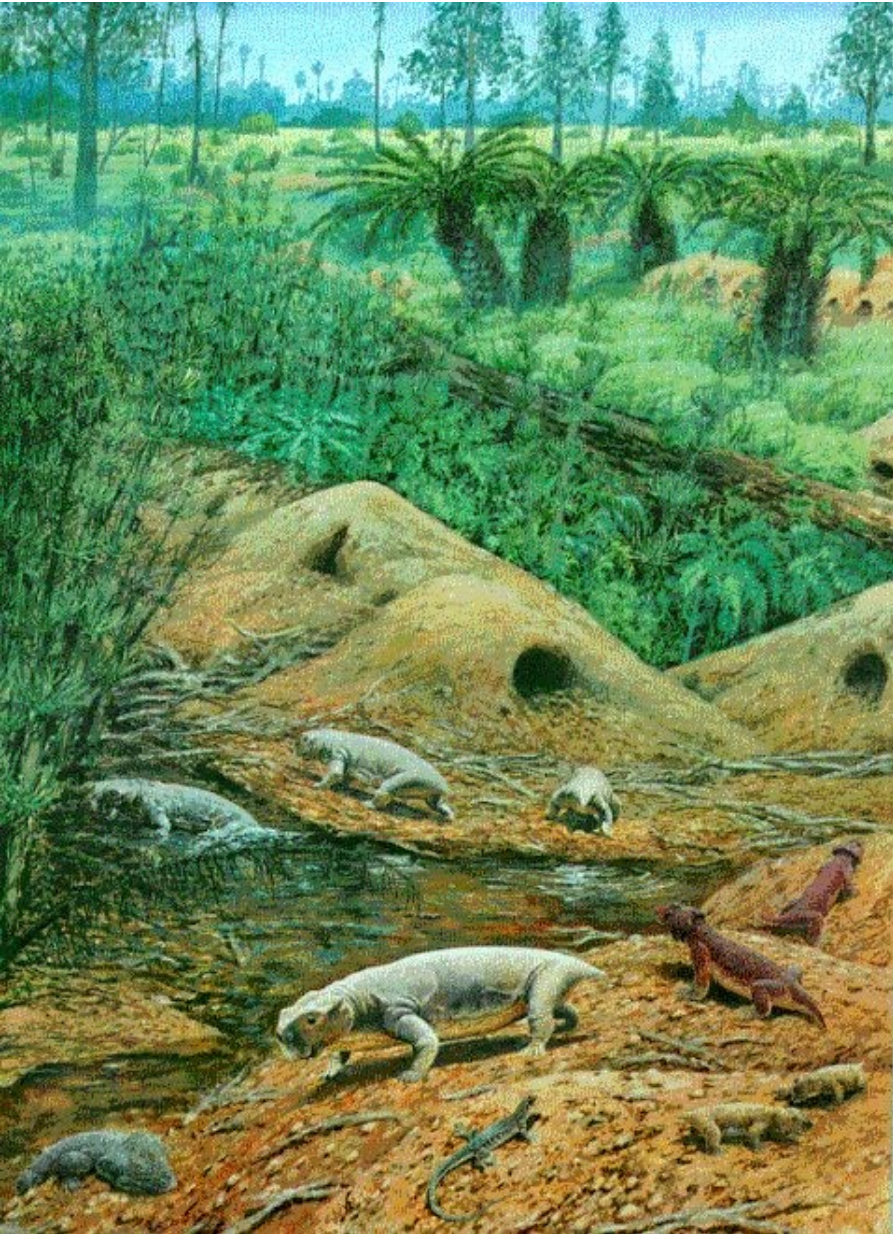
Moschops (Therapsida, býložravec, cca 3 m)

Blízký cynodontům

Lycaenops, *Gorgonopsia*,
Therapsida, perm



Savčí znaky přibývají



Titanophoneus, Therapsida, perm



Thrinaxodon, Therapsida, Cynodontia, perm

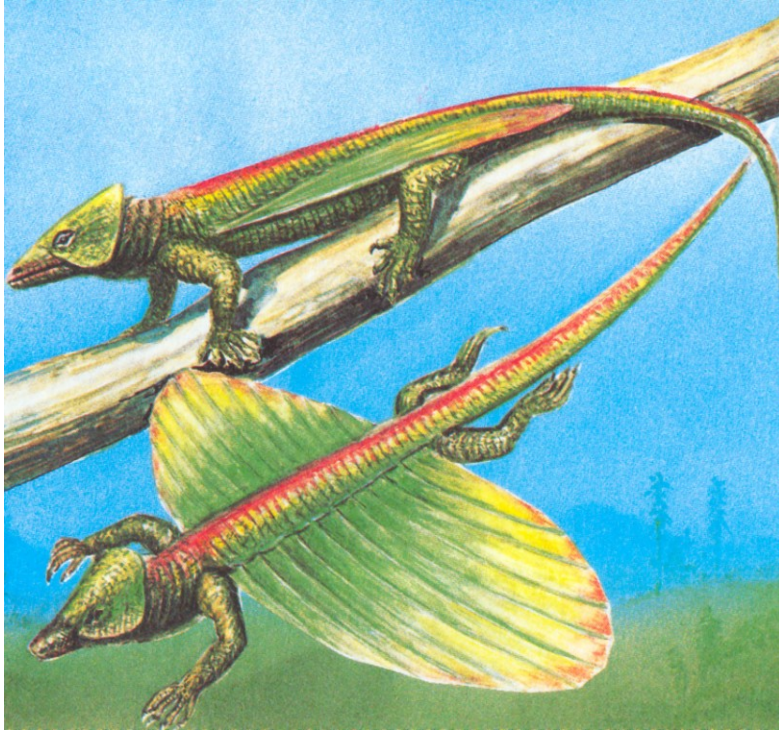
Cesta k dalším plazům



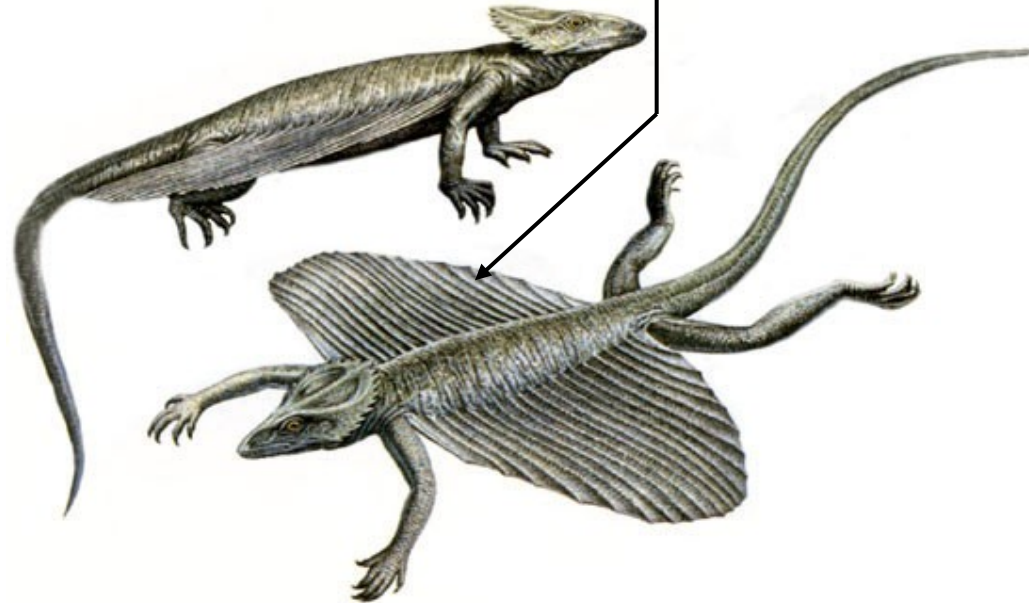
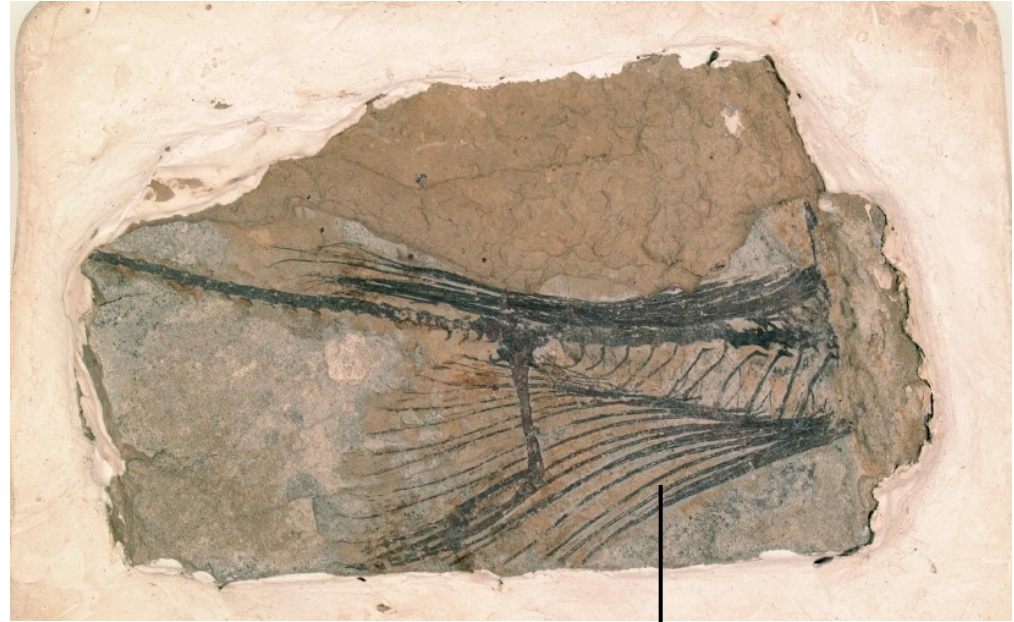
***Protosaurus*, Diapsida, archosauromorfní amniot, svrchní perm, představitel výchozích forem k dinosaurům a krokodýlům**

Ve svrchním permu ovládli plazi klouzavý let:

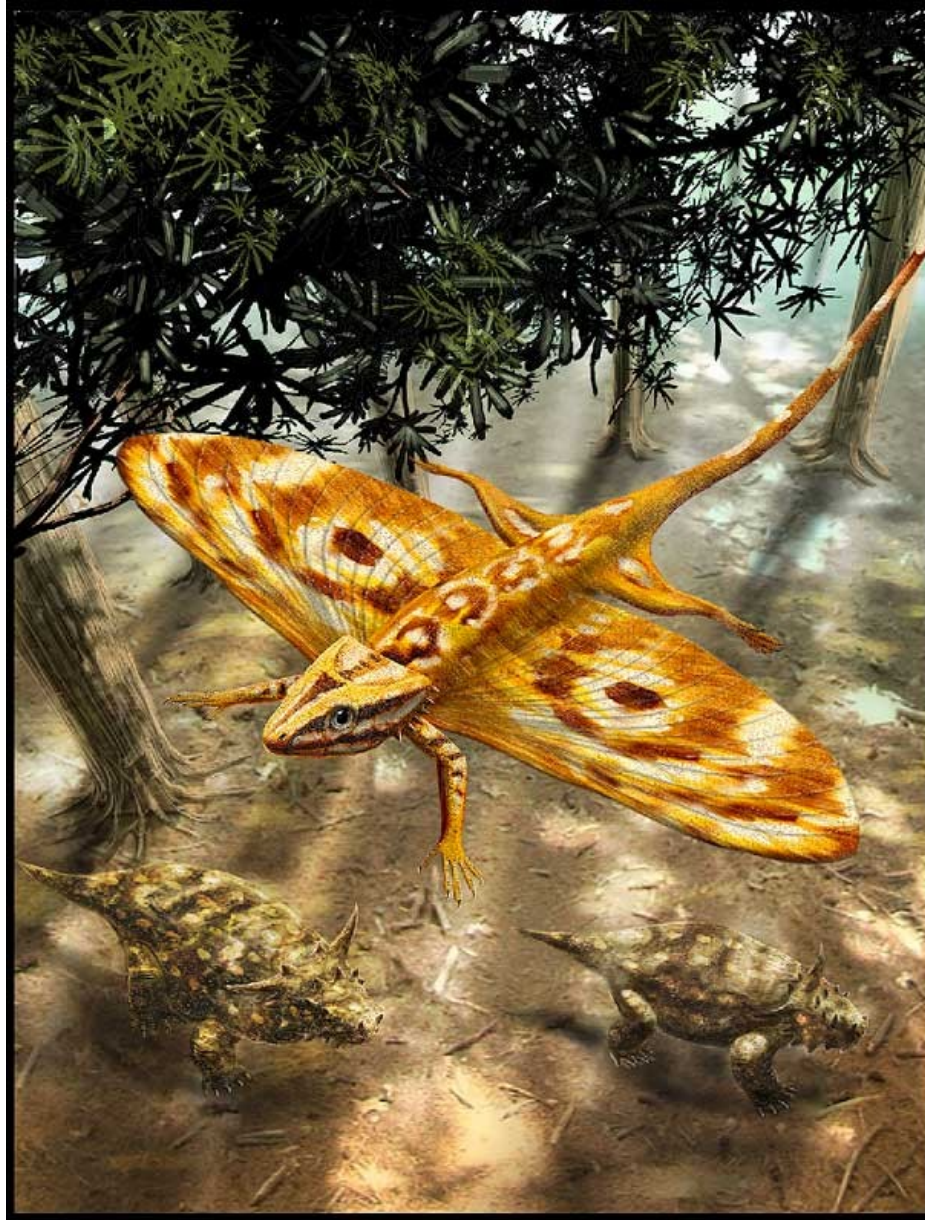
Avicephala – nezař. sk. diapsidních plazů



Weigeltisaurus jaekeli, sv. perm Evropy



Coelurosauravus, sv. perm, Madagaskar

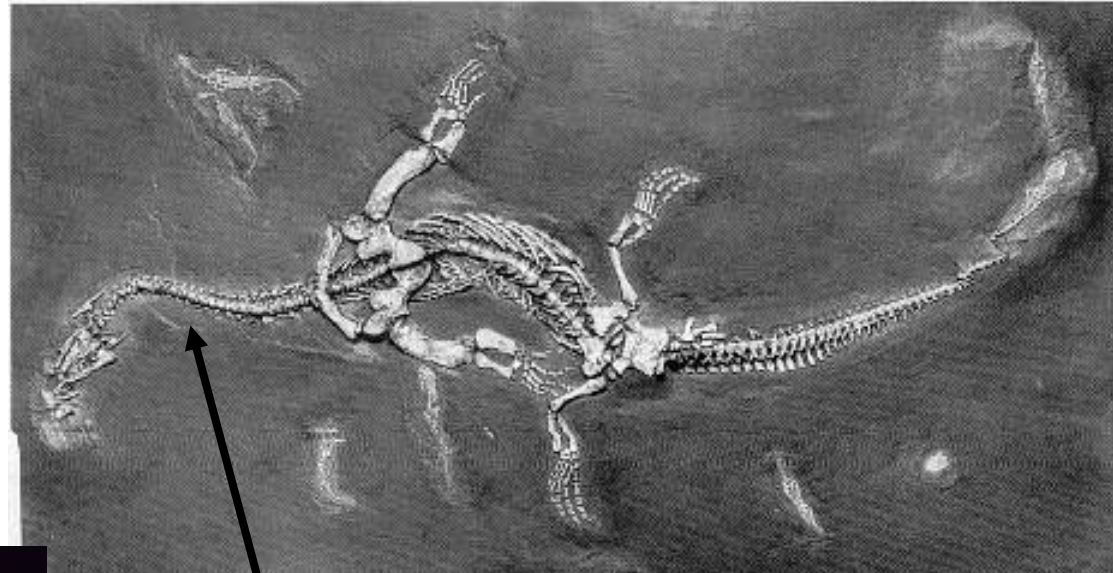


... a barevná představa

Plazi se vracují ještě v permu zpět do vody prostřednictvím obojživelné skupiny vodních euryapsidních plazů („Euryapsida“)

Nothosauria:

rekonstrukce



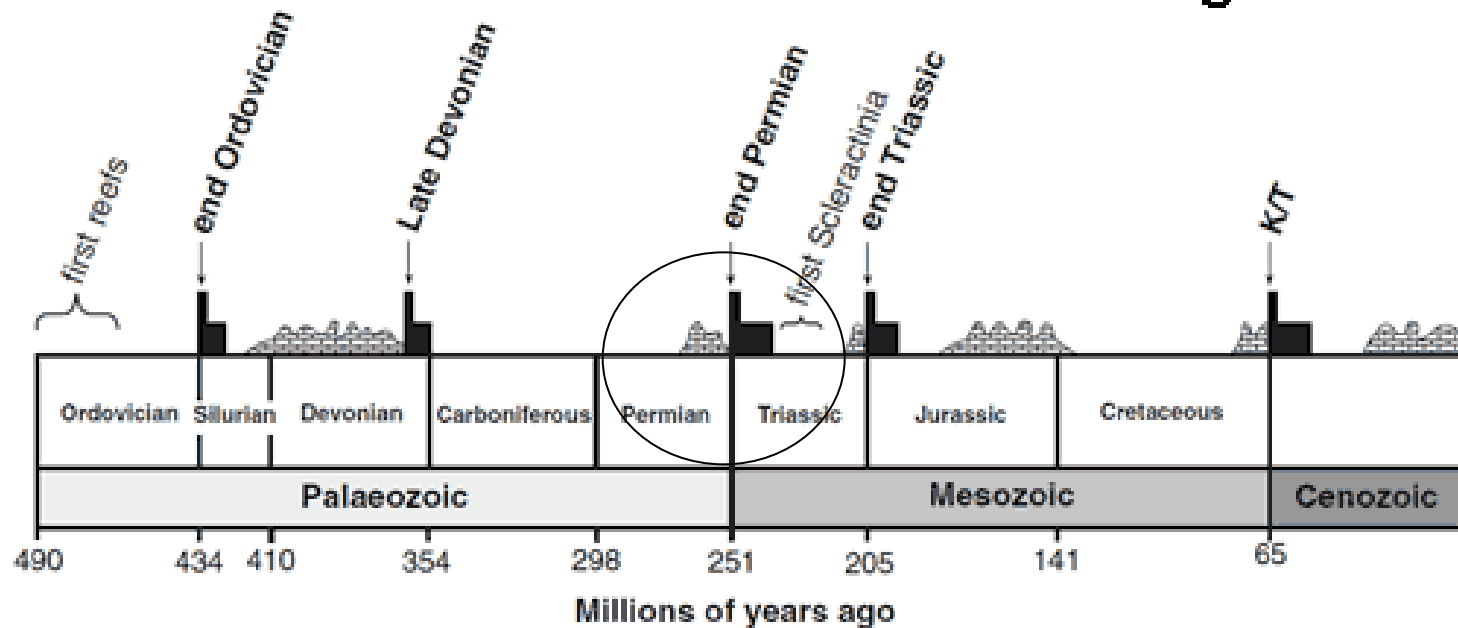
kostra, perm

většinou dlouhý sinusovitý krk

Nothosaurus sp.

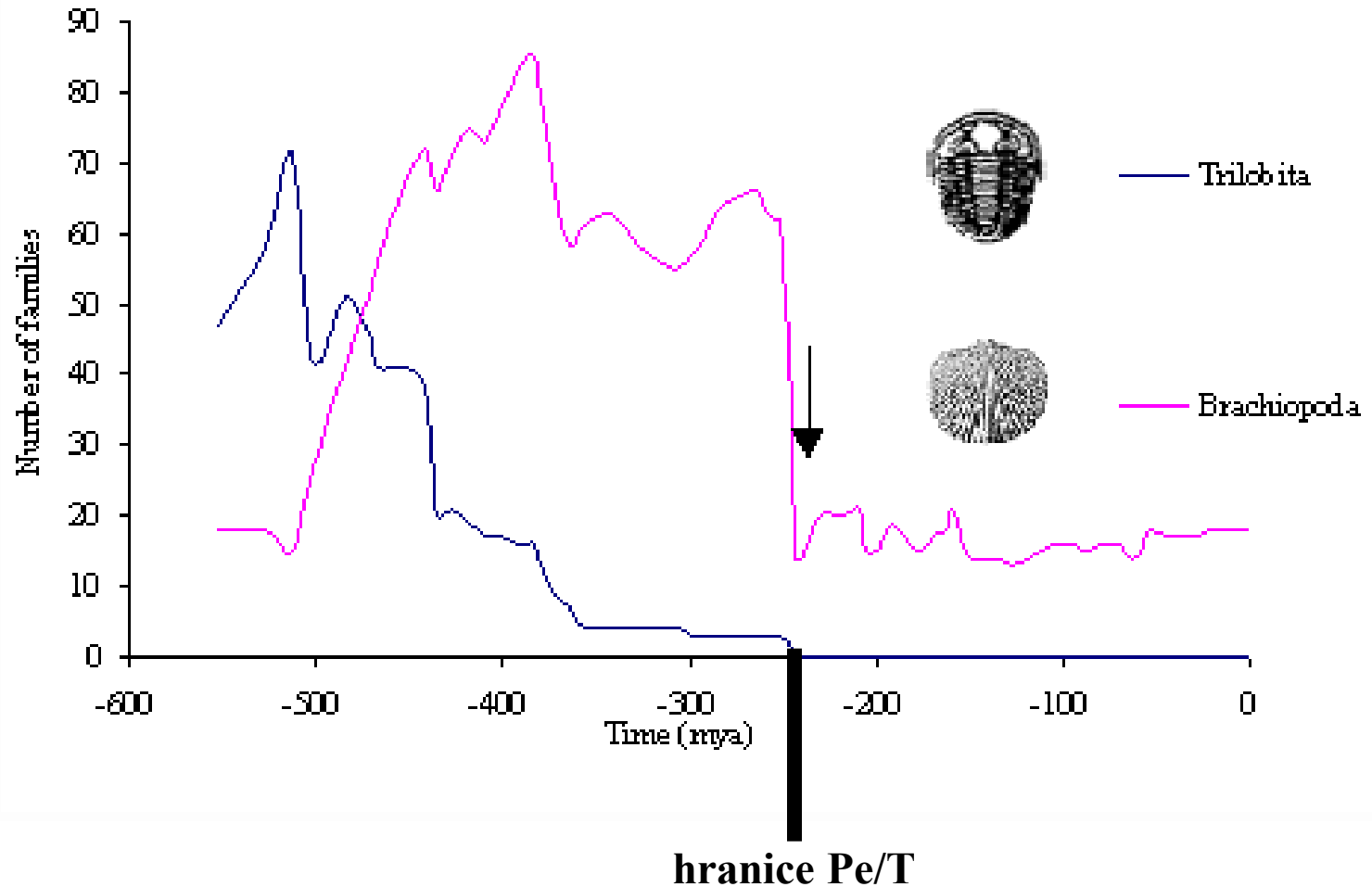
**Pe-Ca = korálové rify až v závěru permu,
poté decimace na hranici Pe/Tr**

Mass Extinction Events and coral reef growth

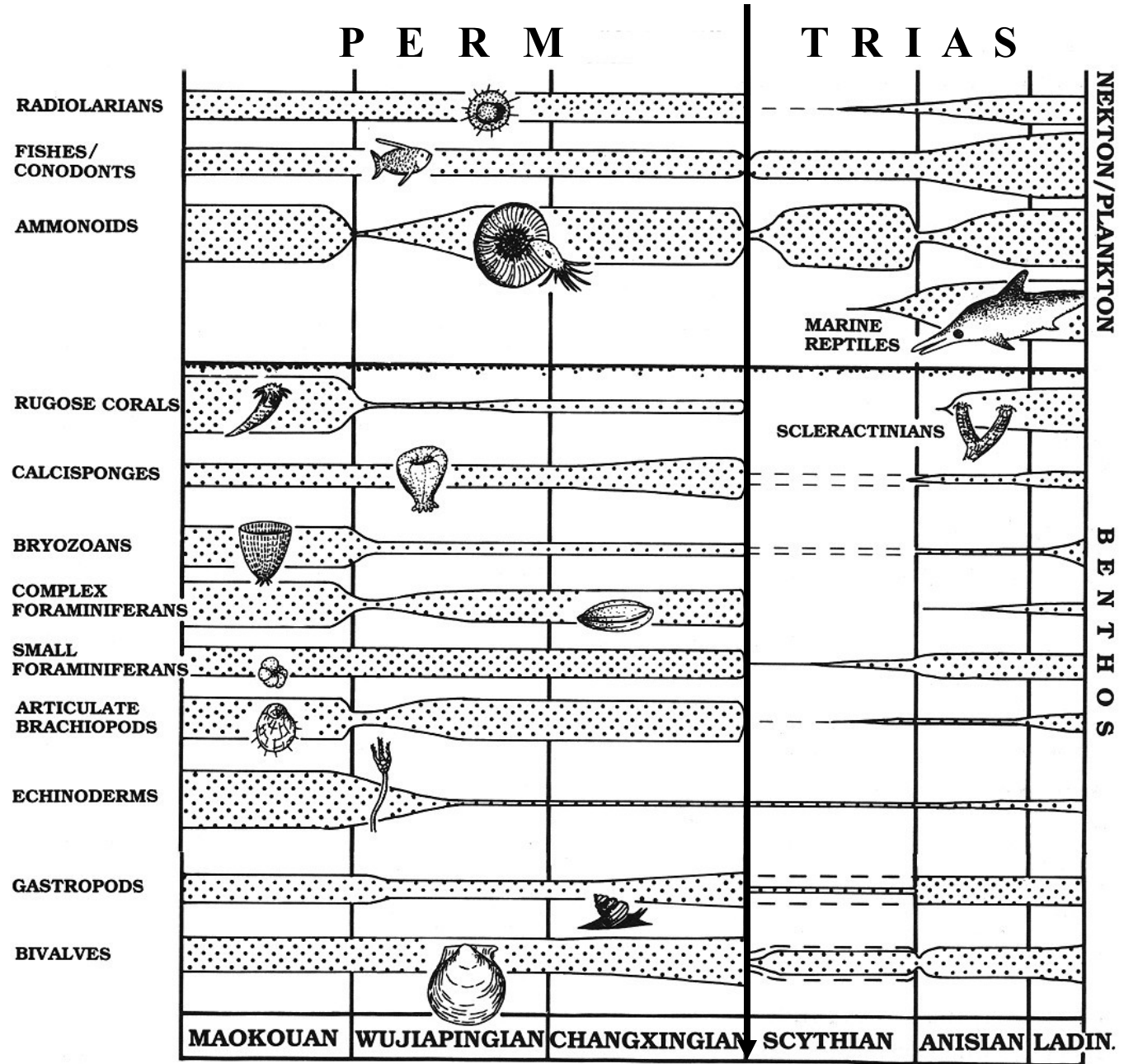


Závěr permu představuje největší devastaci života na Zemi. Graf dvou skupin (Trilobita, Brachiopoda) ukazuje sílu dopadu hromadného vymírání

Figure 4 Showing the effect of the P-T extinction, indicated with an arrow, upon the diversification levels of two organismal groups (Benton, 1993)



Souhrnný diagram diverzity mořské bioty okolo hranice perm/trias



| Skupina | % vymřelých | poznámka |
|---------------------|--------------------|--|
| Foraminifera | 97 % | (+Fusulinida plně) |
| Radiolaria | 99 % | |
| Anthozoa | 96 % | (+ Tabulata, Rugosa, plně) |
| Bryozoa | 79 % | (Fenestrata, Trepostomata, Cyclostomata plně) |
| Brachiopoda | 96 % | (Orthida plně) |
| Bivalvia | 59 % | |
| Gastropoda | 98% | |
| Ammonitida | 97 % | |
| Crinoidea | 98 % | (Inadunata, Camerata plně) |
| Blastoidea | 100 % | (možná poněkud dříve před P/T hranicí) |
| Trilobita | 100 % | (ústup od devonu, jen 2 rody před vymřením) |
| Eurypterida | 100 % | |
| Ostracoda | 59 % | |
| Acathodii | 100 % | |

Procentuální ztráty některých skupin na hranici Perm /Trias

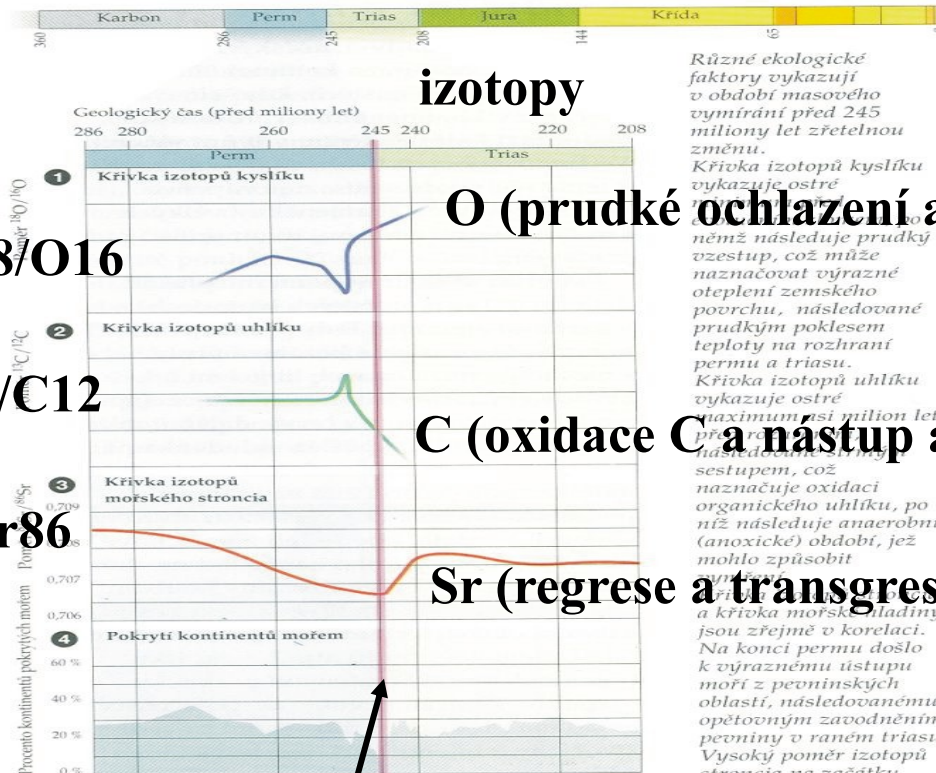
Změny křivek izotopů O, C, Sr při hranici perm/trias

GLOBÁLNÍ SCHEMATA

Velký krach před 245 miliony let mohl být způsoben neobvyklým stavem planety v oné době. V pozdním permu se kontinenty oddělené v předchozím období začaly spojovat do obrovské pevniny zvané Pangaea. To mělo jednoduchý geometrický následek v tom, že se zmenšila plocha mělkých příbřežních moří; když se dva kontinenty spojily, zmizel mezi nimi mořský spoj a s ním i většina života v oblasti.

Na souši byly následky spojování kontinentů stejně pronikavé. Ve vnitrozemí se tvořily obrovské pouště, zřejmě prakticky bez života, jako následek odloučenosti od moře. Na těchto pouštích kolísala teplota v velmi širokém rozmezí. Horská pásma, vznikající srážkou dvou kontinentů, byla oblastí nízkých teplot a možná že se na nich tvořily ledovce. Všeobecně se na zeměkouli výrazně projevovala různá roční období. To všechno mohlo způsobit dlouhodobou rozmanitost fauny i flory.

Tyto fyzikální projevy bylo možno určit na základě paleoklimatických dokladů v horninách z pozdního permu i z teoretického modelování. Každý z těchto typů klimatických změn mohl vést k hromadnému vymření.



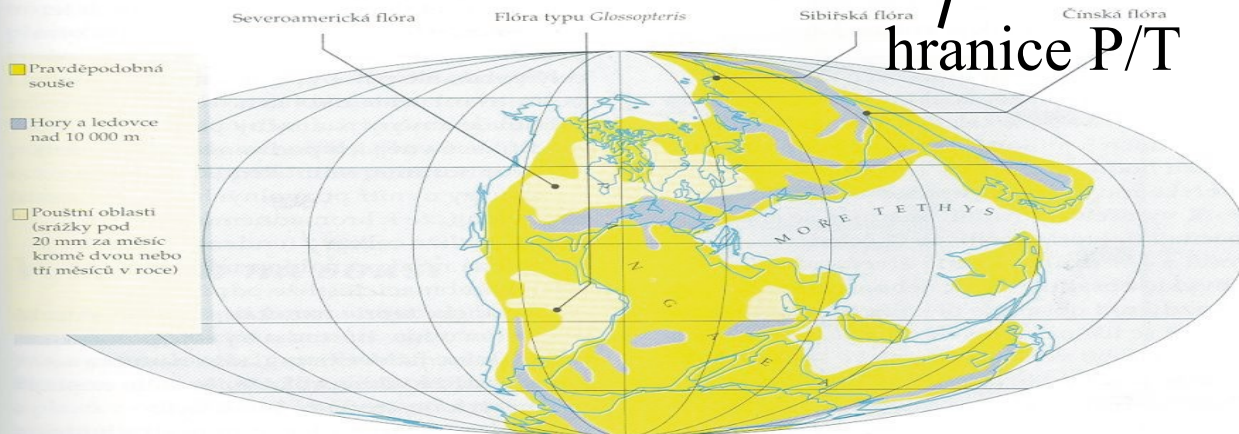
Různé ekologické faktory vykazují v období masového vymírání před 245 miliony let zřetelnou změnu. Křivka izotopů kyslíku vykazuje ostré minimum asi milion let před 245 miliony let, což naznačuje prudké ochlazení a oteplení.

O (prudké ochlazení a oteplení)

C (oxidace C a nástup anoxie)

Sr (regrese a transgrese)

hranice P/T

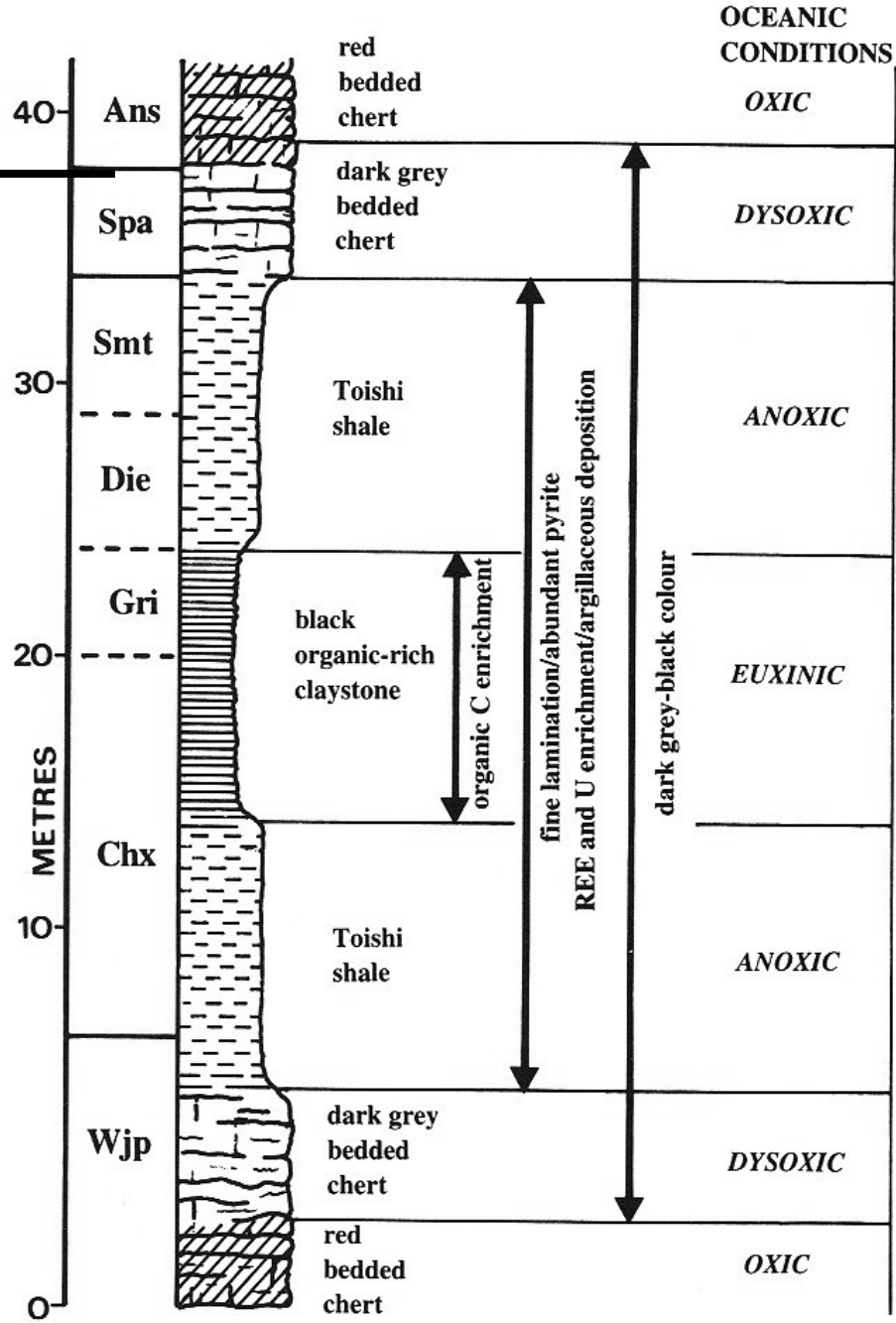


NALEVO: Mapa světa v pozdním permu, ukazující kontinenty spojené do jediné pevninské masy zvané Pangaea. Vyskytovaly se tu čtyři typy flóry, poukazující na období, kdy byl zemský povrch rozdělen na čtyři hlavní kontinenty.

hranice Pe/T

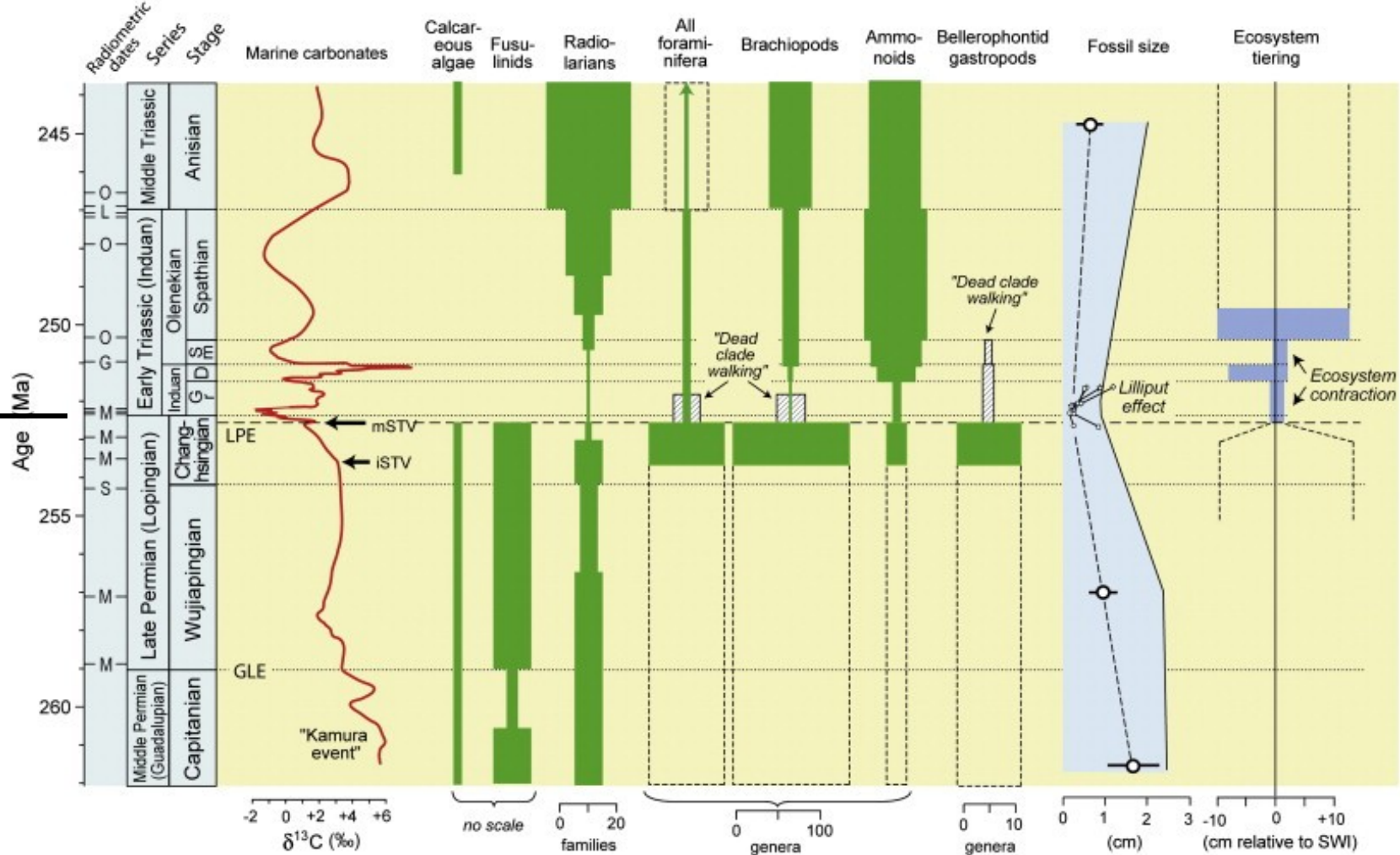
Profil pelagickými sedimenty na hranici P/T (JZ Japonsko) ukazující výrazný úbytek kyslíku (Isozaki 1994), cca 10% v atmosféře

TRIAS
PERM



T

P

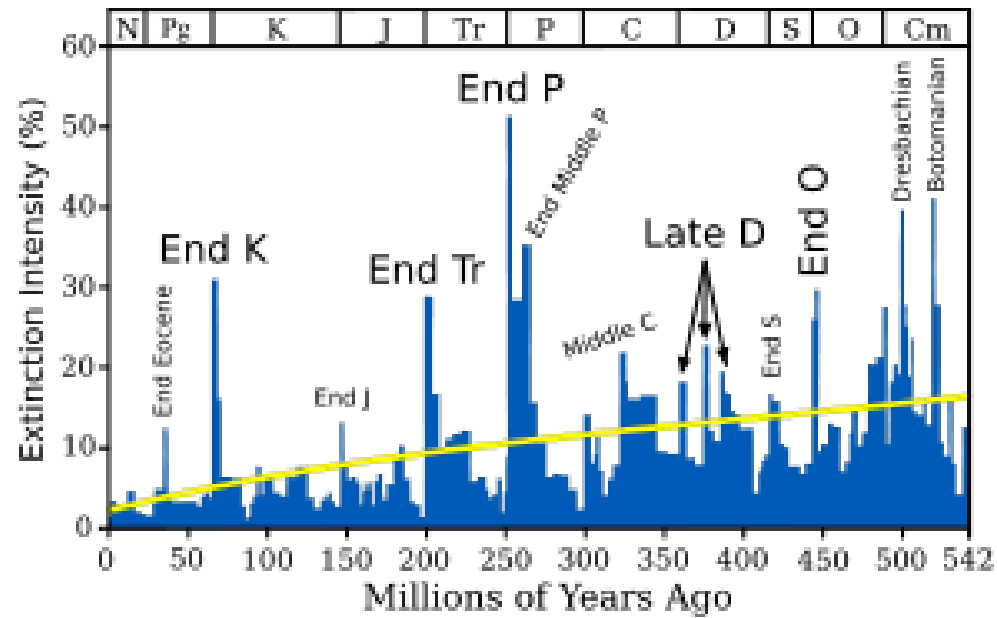


Souhrn jevů kolem hranice P/T

T. Algeo et al. (2012), GLE – Guadalupian/Lopingian event; LPE – Latest Permian event; iSTV + mSTV – initial and main stage Siberian Traps Volcanisms; SWI – sediment-water interface

Ocean acidification triggered by Siberian Trap volcanism was a possible kill mechanism for the Permo-Triassic Boundary mass extinction, but direct evidence for an Acidification event is lacking. We present a high resolution seawater pH record across this interval, using boron isotope data combined with a quantitative modeling approach. In the latest Permian, increased ocean alkalinity primed the Earth system with a low level of atmospheric CO₂ and a high ocean buffering capacity. The first phase of extinction was coincident with a slow injection of carbon into the atmosphere, and ocean pH remained stable. During the second extinction pulse, however, a rapid and large injection of carbon caused an abrupt acidification event that drove the preferential loss of heavily calcified marine biota.

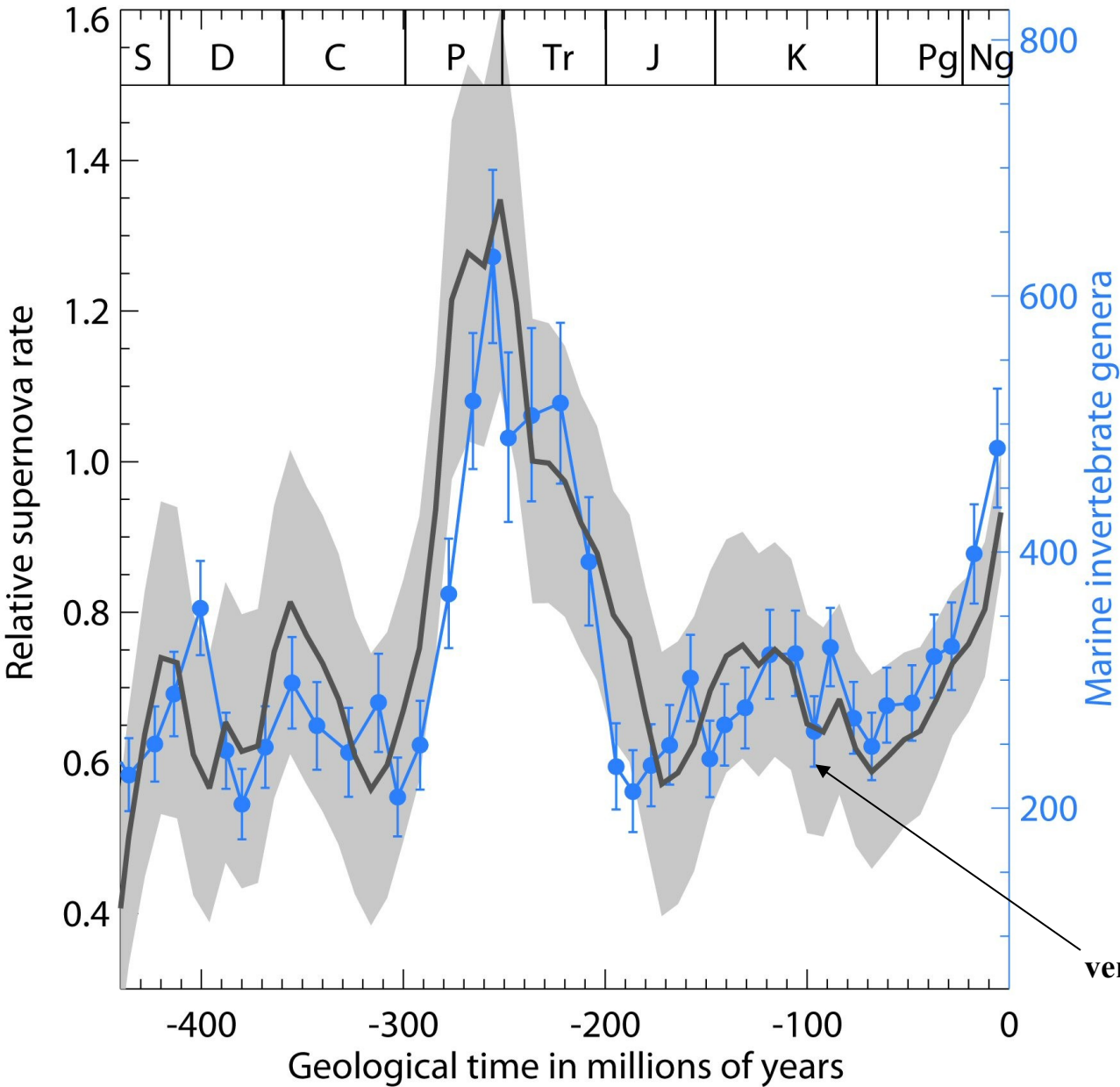
Marine Genus Biodiversity: Extinction Intensity



recent ←

→ kambrium

Sahni & Benton (2008)



**Kosmická hypotéza,
(kombinace výbuchu supernovy
kolísání hladiny oceánu – desk.
tektonika)
(Svenmark, 2012)**

vertikální úsečky udávají možné chyby

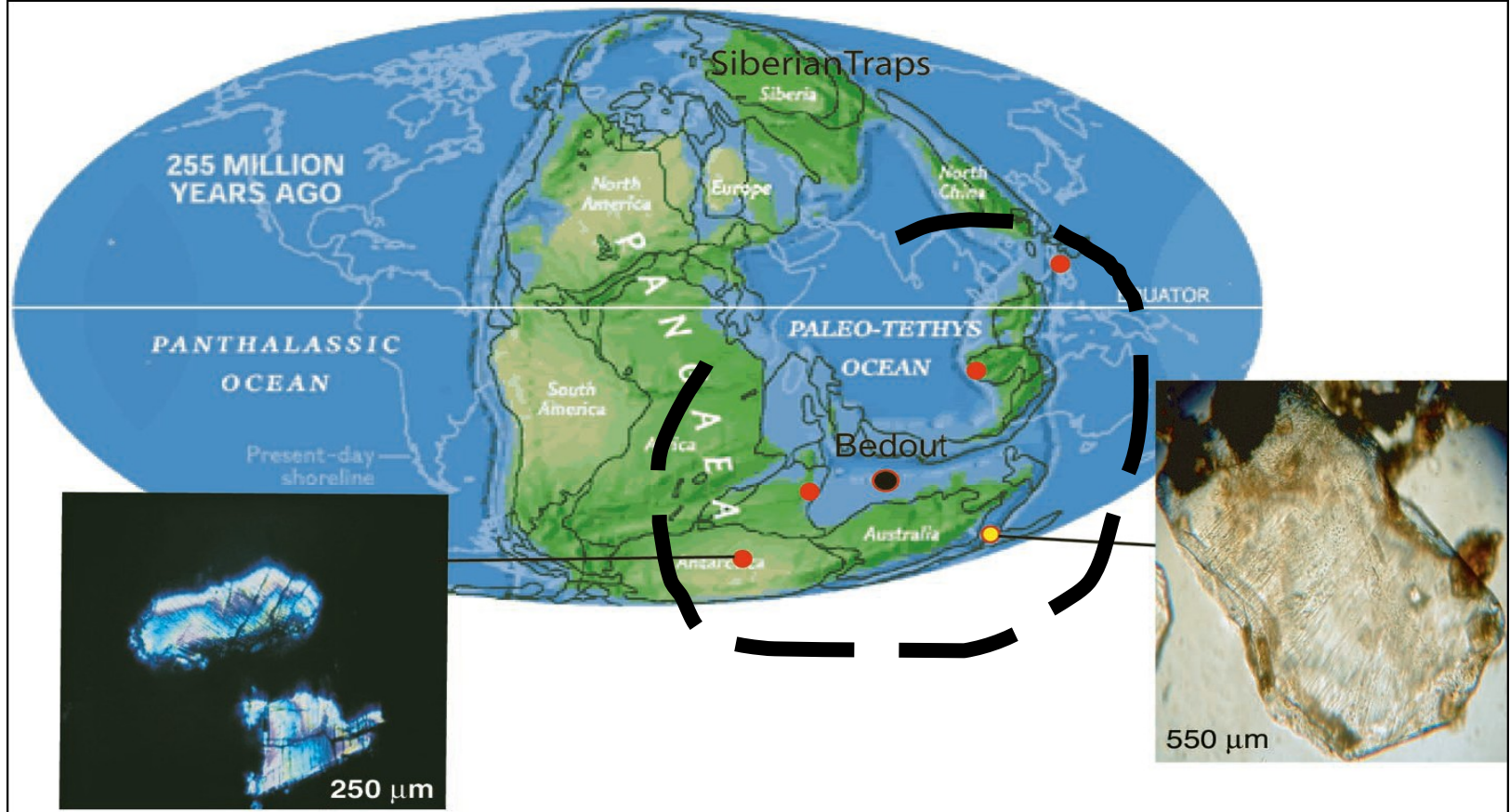
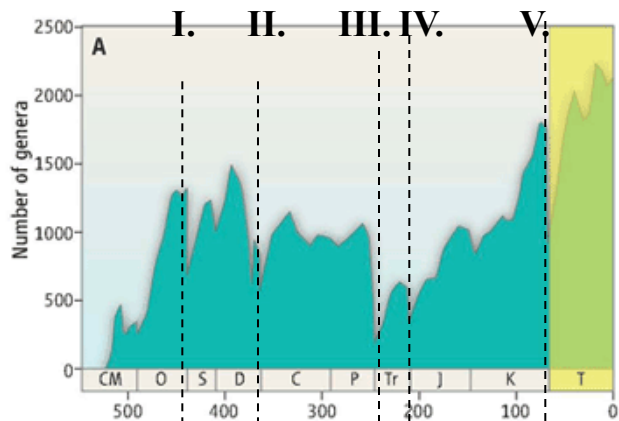


Fig. 1. Positions of the continents during end-Permian time. Red dots denote where extraterrestrial fullerenes have been reported. In addition, other suggested impact tracers have been found in P-T boundary layers at Graphite Peak, Antarctica; Meishan, China; and Sasayama, Japan, including meteoritic debris (8), Fe-Ni-Si grains (5, 8), shocked quartz (4), and impact spherules (6). Recently, large shocked quartz grains (fig. S1) were found in the Fraser Park, Australia, and Graphite Peak, Antarctica, P-T boundary layer (yellow dot). [The Permian map was modified from the Scotese Paleomap Project Web site (www.scotese.com).]

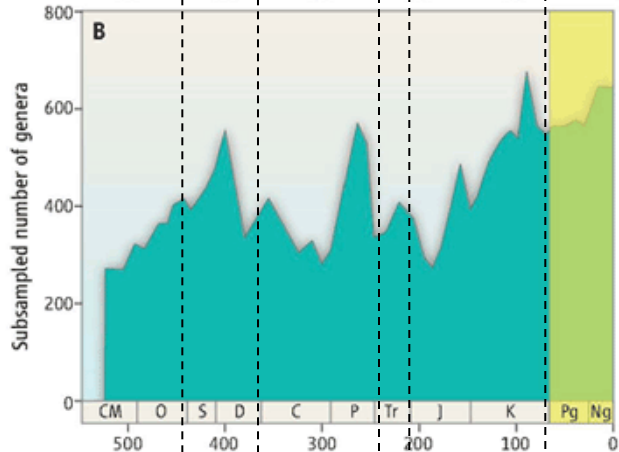
RESEARCH ARTICLE

www.sciencemag.org SCIENCE VOL 304 4 JUNE 2004 1469

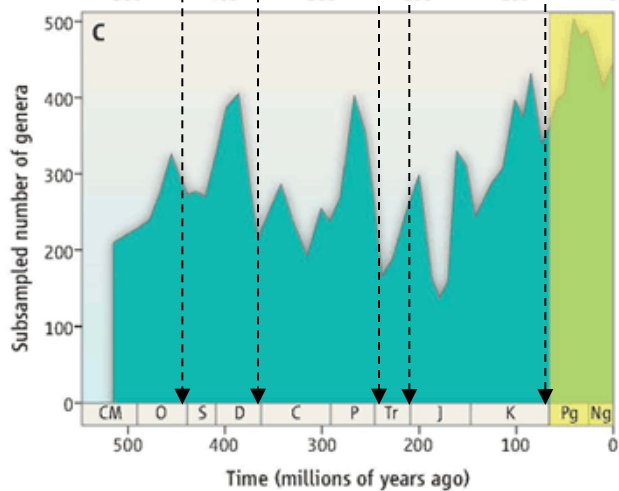
Downloaded from www.sciencemag.org on November 16, 2006



Diversita podle Sepkoskiho (1997)



Současná křivka diverzity podle Paleobiology Database



Nejnovější křivka diverzity podle PBDB (2012) s použitím nové metody pro korekci nerovnoměrného vzorkování – pro kenozoikum (žlutá barva) je shodná s ad A)

III. Masové vymírání – PERM/TRIAS (~250 Ma):

Nejsilnější v historii Země:

- **Mizí 96 % živočišných druhů:**
 - **totálně trilobiti, starobylí koráli,**
 - **téměř všichni amoniti – mizí goniatitový šev,**
 - **většina planktonu,**
 - **převážná většina čtyřnožců -75 % čeledí (řada therapsidů, výrazně postiženi i obojživelníci)**
 - **největší redukce hmyzu v historii planety – z 27 řádů mizí 8 a 10 je silně redukováno**
- **Flóra mění svůj ráz postupně z paleofytické na mezofytickou => zvýšená adaptace na suché podmínky. Na hranici P/T je zřetelný, byť krátkodobý vzrůst spor hub (?).**

Příčiny:

- spojení kontinentů = Pangea protažená S-J směrem, výrazné zmenšení plochy šelfů, rozsáhlá subdukce pacifické desky pod Pangeu, pod Z. Sibiří obrovský magmatický krb →
- obrovské výlevy čedičů na povrch – Sibiř (2,5 milionů km², mocnost až 4 km, datace = 252.6 Ma ± 0.2) →
- obrovské oteplení, tání hydrátu metanu v oceánech → únik do atmosféry, výrazně zesílený skleníkový efekt + další oteplení etc., metan odbourává O₂ → snížení kyslíku až na 10 %, teplota se zvyšuje na rovníku o 7 st. C → a na pólech až o 20 st. C.
- dezertifikace (nástup pouští) na kontinentech, výpar, evapority (v solných jezerech mikrobiální procesy produkují těkavé uhlovodíky, např. chloroform, trichloreten etc. jako dnes v jižním Rusku a jižní Africe) => velké množství jedovatých látek
- vzrůst CO₂ – „green-house“ podmínky v souvislosti s redukcí útesů
- regrese ve sv. permu a transgrese ve sp. triasu
- superanoxie oceánů (berthierit, FeSb₂S₂, na bázi triasu v sedimentech)
- impakt (?) – zatím jediný kandidát v SZ Austrálii (Bedout-High, šokované horniny ~ 250 Ma)
- vymírání vrcholí 252. 5 Ma, vrchol trval 300. 000 let

Závěr:

Svrchnopermská krize proběhla ve třech fázích:

1. Regrese spojená s tříštěním jednotlivých nik a klimatickou nestabilitou
2. Vulkanická aktivita (Sibiř) spojená se vzrůstem CO₂, globálním oteplením prudkým zvýšením metanu a dalším klimatickým zhoršením, popř. impakt následovaný prudkým ochlazením a ekologickým kolapsem
3. Transgrese na počátku triasu, rozšíření anoxických vod

Použité prameny:

- Benton, M.J., 1997: Vertebrate Palaeontology. – Chapman & Hall, pp.452. London.
- Courtillot, V. , 1999: Evolutionary Catastrophes, The Science of Mass Extinction. – Cambridge University Press, pp.173, Cambridge(UK).
- Gould, J.S. (ed.), 1998: Dějiny planety Země. – Knižní klub, Columbus, pp. 256, Praha.
- Hallam, A., Wignall, P.B., 1997: Mass Exctinctions and their Aftermath. – Oxford Univ. Press, pp. 320. Oxford.
- Kalvoda, J., Bábek, O., Brzobohatý, R., 1998: Historická geologie. – UP Olomouc, pp. 199. Olomouc.
- Lovelock, J., 1994: Gaia, živoucí planeta. – MF, MŽP ČR, Kolumbus 129, pp. 221. Praha.
- Margulisová, L., 2004: Symbiotická planeta, nový pohled na evoluci. – Academia, pp. 150. Praha.
- Paturi, F. X., 1995: Kronika Země. - Fortuna Print, pp. 576. Praha.
- Pálfy, J., 2005: Katastrophen der Erdgeschichte – globales Aussterben ? – Schweizerbart. Ver. (Nägele u. Obermiller), pp. 245, Stuttgart.
- Pokorný, V. a kol., 1992: Všeobecná paleontologie. – UK Praha, pp. 296. Praha.
- Raup, D.M., 1995: O zániku druhů. – Nakl. LN, pp.187. Praha.

Internet – různé databáze (především obrazová dokumentace)

Appendix:

-V Austrálii byly 2 km pod povrchem nalezeny 2 krátery Western and Eastern Warburton Basin

-Patří snad největšímu dosud zjištěnému impaktu, který se před dopadem na Zemi rozlomil na dva kusy, impaktová zóna cca 400 km

-Stáří není dosud přesně zjištěno, cca 300 Ma, tedy blízko hranice Karbon/Perm

- V horninovém okolí = šokové struktury a minerály

